



PEF 3307

Resistência dos Materiais

Valerio SA, valerio.almeida@usp.br

Abril/2021

Conteúdo da aula

- Introdução à resistência dos Materiais
- Cálculo de reações de apoio
- Cargas distribuídas
- Exemplos
- Conceito de tensão/esforço

MECÂNICA

Ciência aplicada, não tem o empirismo de algumas ciências da engenharia, nem é abstrata/pura

MECÂNICA

CORPO RÍGIDO (espaço, veloc., aceler.)

CORPO DEFORMÁVEL (esforços internos, deformações)

FLUIDOS (veloc., pressões)

CORPO DEFORMÁVEL

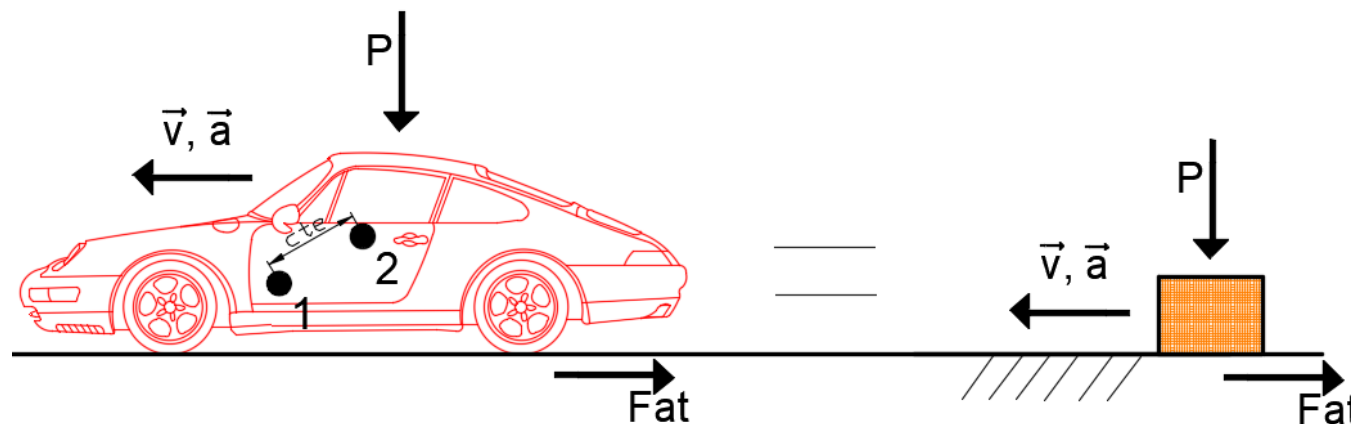
Grandezas físicas: tensões, deformações

Mecânica do Materiais

Estudo da Mecânica

- **Corpos rígidos**

Não há interesse em movimento relativo no corpo



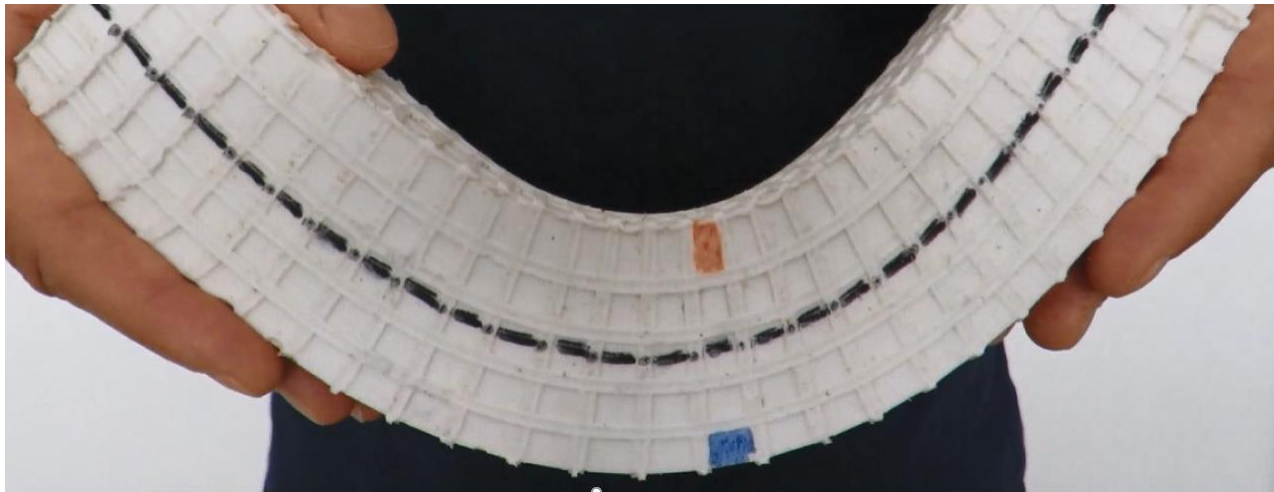
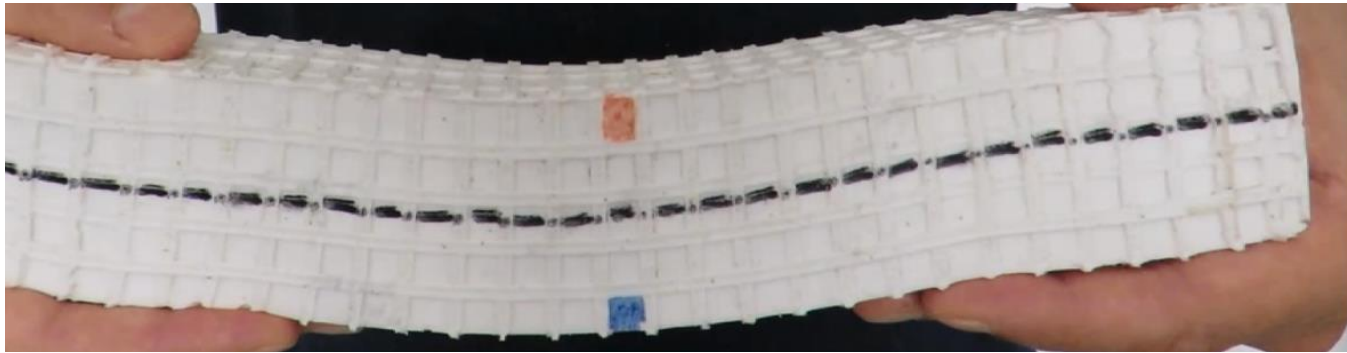
- **Corpos deformáveis**

Grande interesse na mudança de forma do corpo

Mecânica do Materiais

- **Corpos deformáveis**

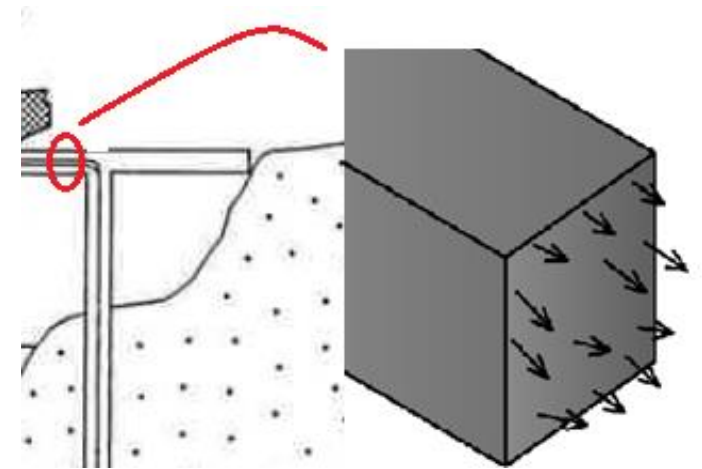
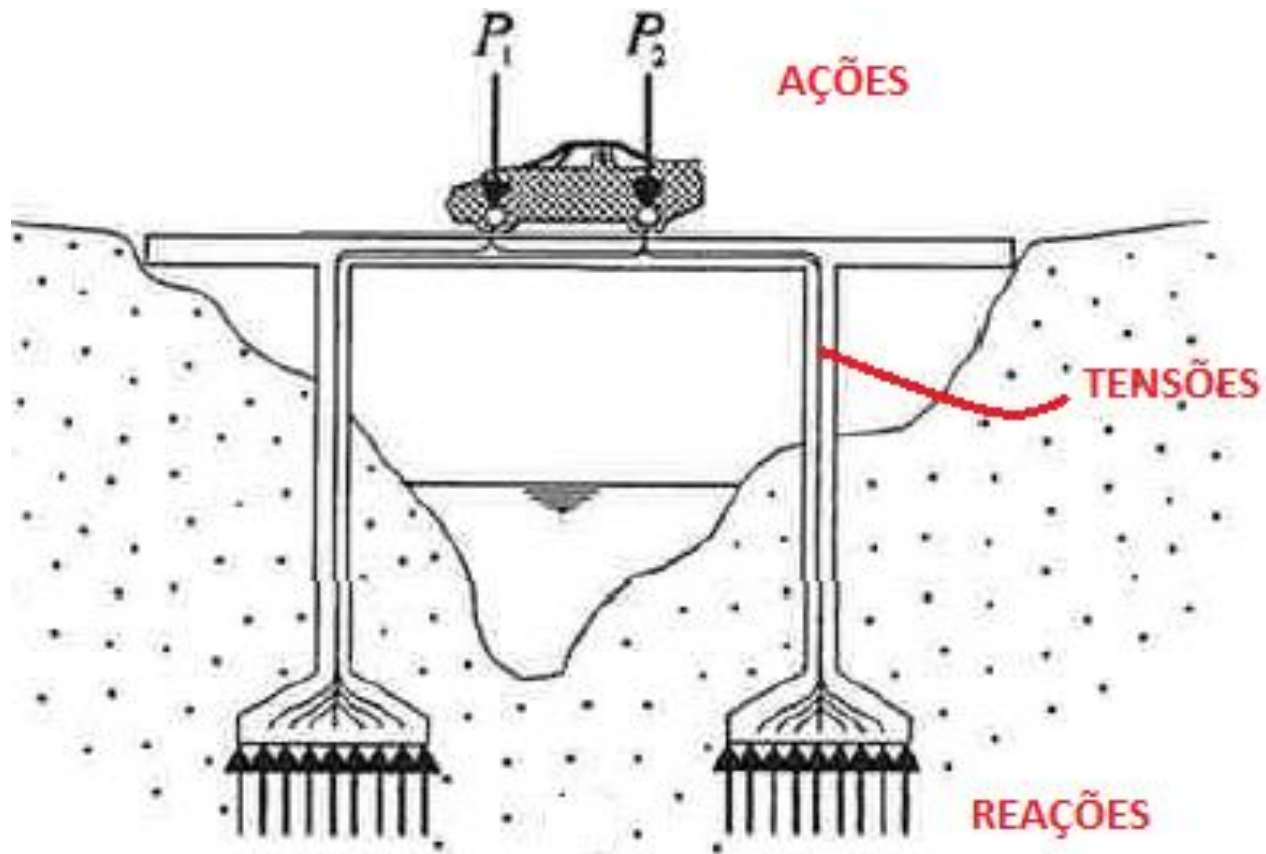
Grande interesse na mudança de forma do corpo: movimentação inter-atômica dos cristais.



Mecânica do Materiais

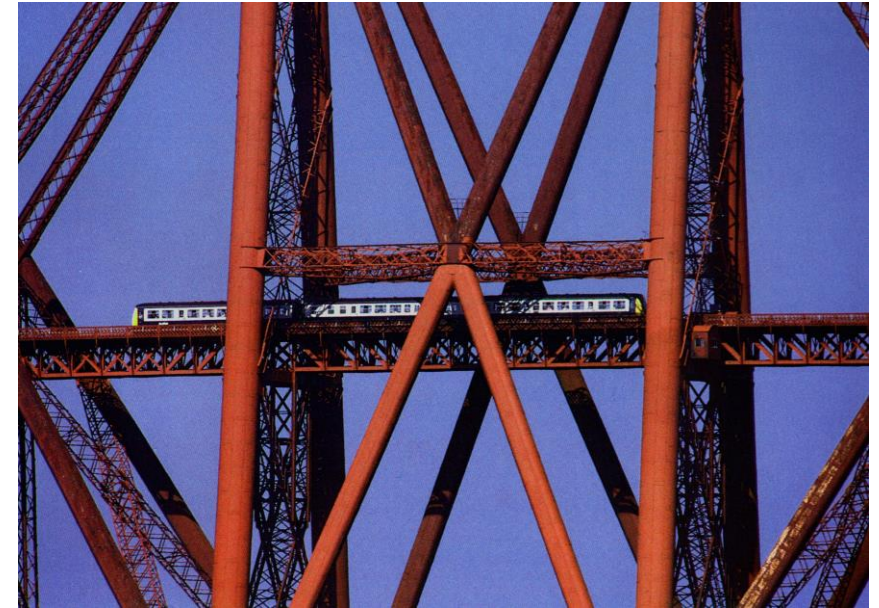
Variação de sua forma: deformações

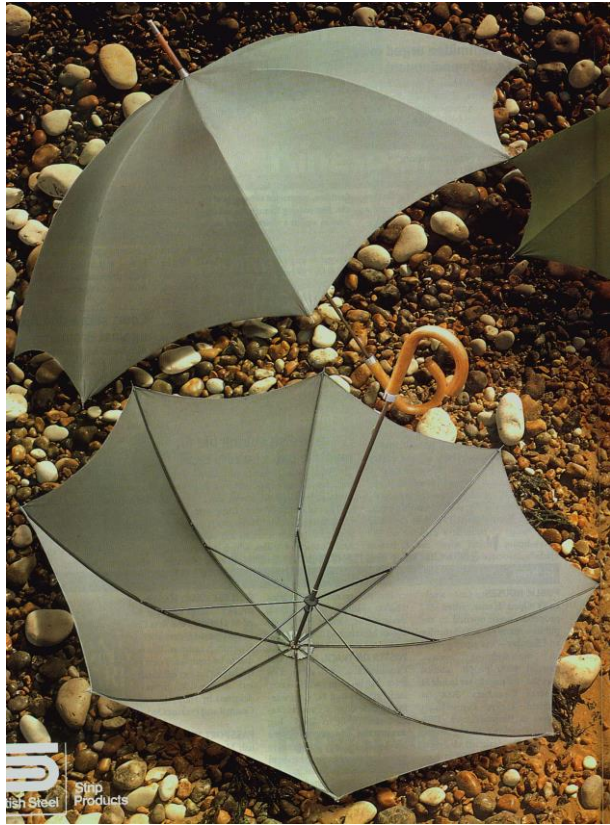
Forças dentro do corpo: esforço interno e tensões



ESTRUTURAS

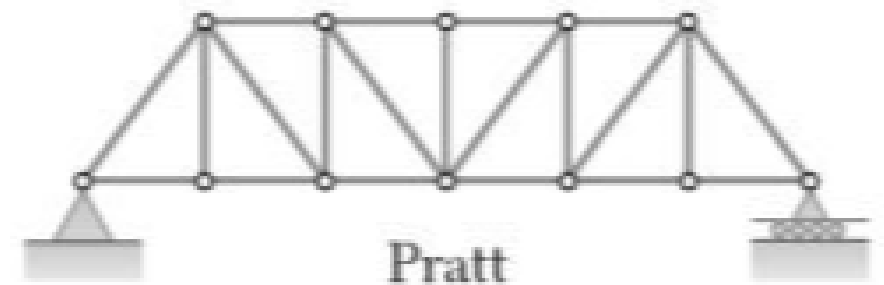
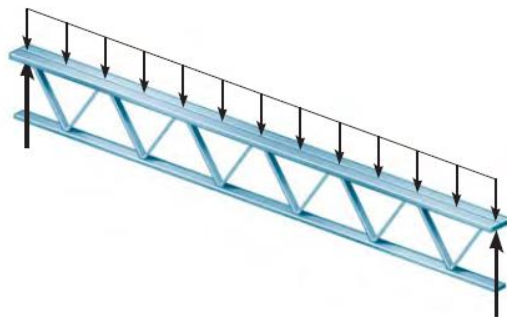
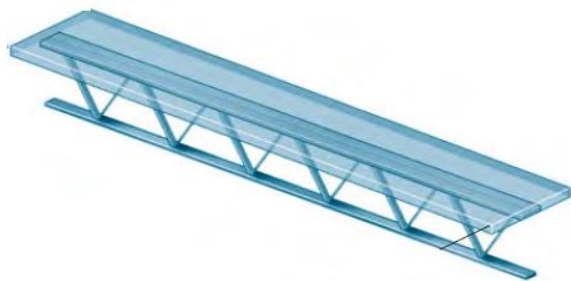
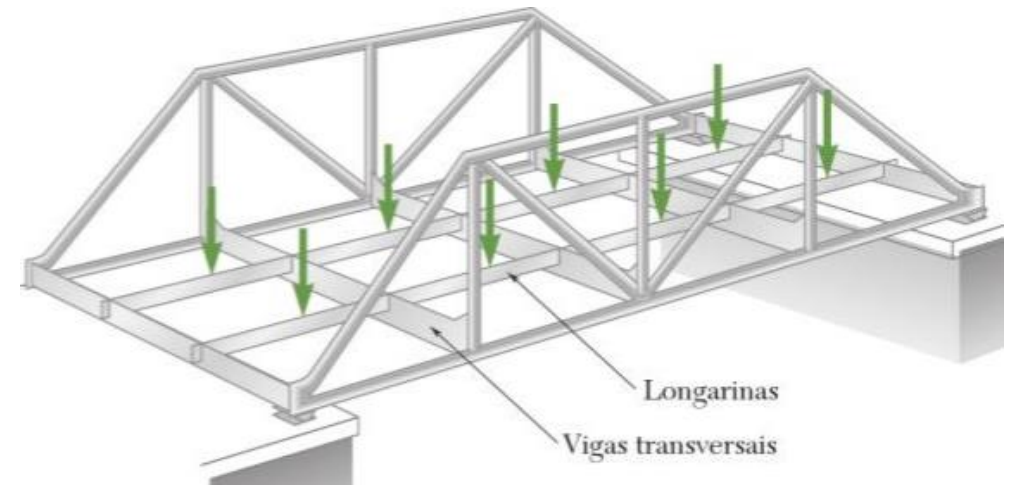
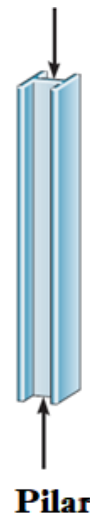
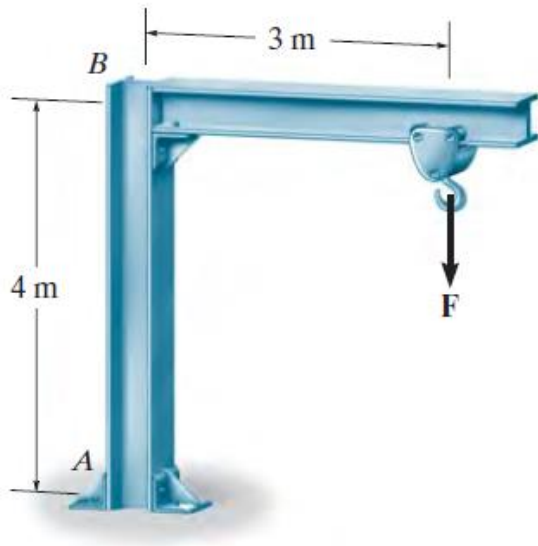
É o conjunto de partes resistentes de uma construção, de uma máquina, ponte, edifício etc...





Classificação das estruturas quanto à sua forma

1) **Planas:** elementos que compõem a estrutura e os esforços que nela atuam se situam em um mesmo plano

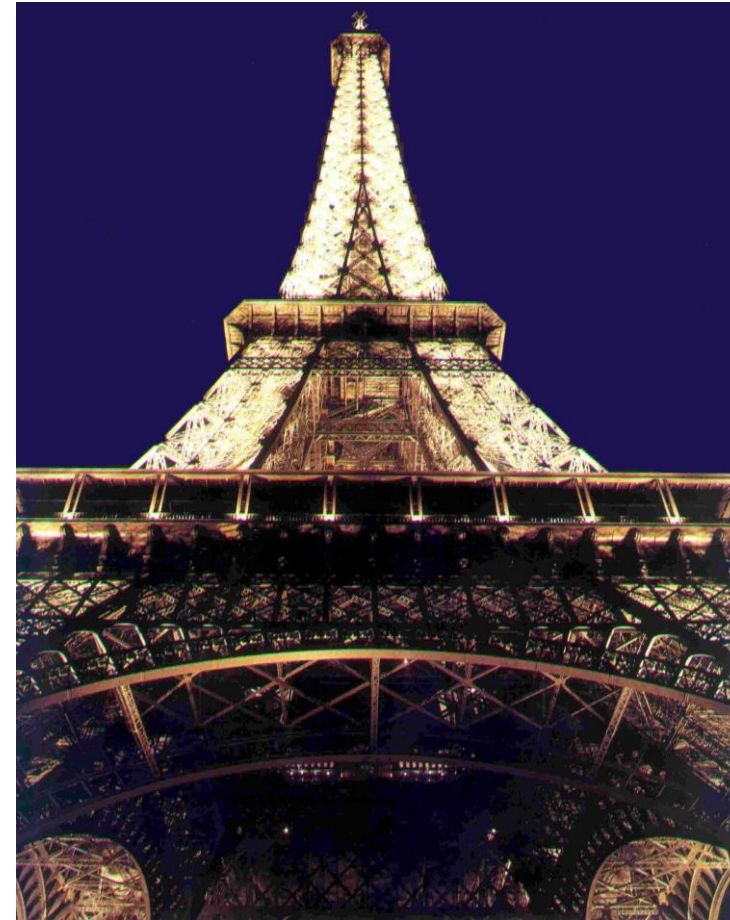


Vigas

Treliças planas

Classificação das estruturas quanto à sua forma

2) Espaciais: os elementos que compõem a estrutura **OU** os esforços que nela atuam **NÃO** se situam em um mesmo plano

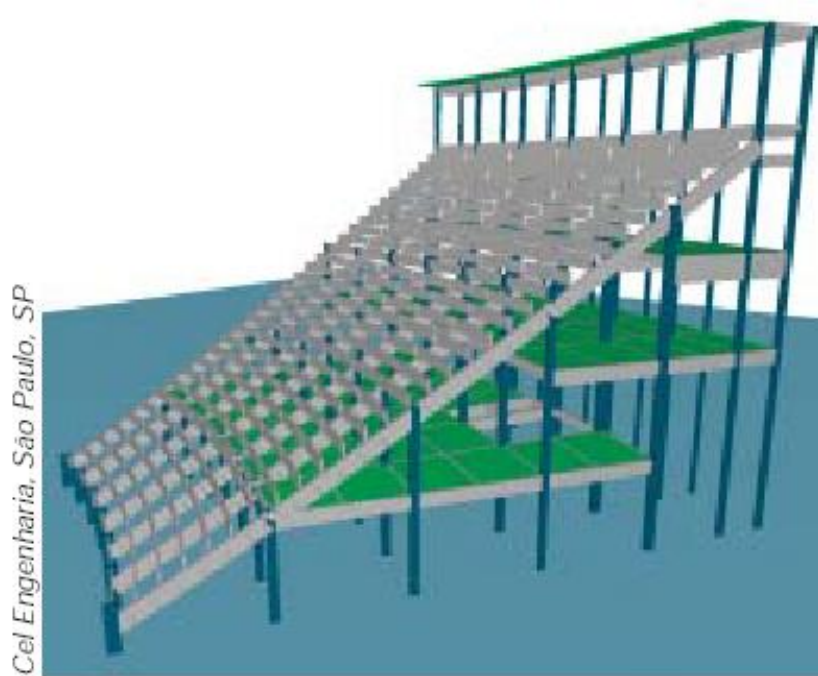


Torres de transmissão de energia elétrica, coberturas

Classificação dos elementos estruturais quanto à sua forma

1) Elementos lineares (barras):

Uma das dimensões é maior que as demais: vigas, pilares, cabos



Vigas, pilares, cabos, estacas

Classificação dos elementos estruturais quanto à sua forma

2) Superfície: elementos em que uma das dimensões (espessura, h) é bem menor que as demais dimensões (a) ($h/a \leq 1:10$)

→ **Folhas**

Chapas

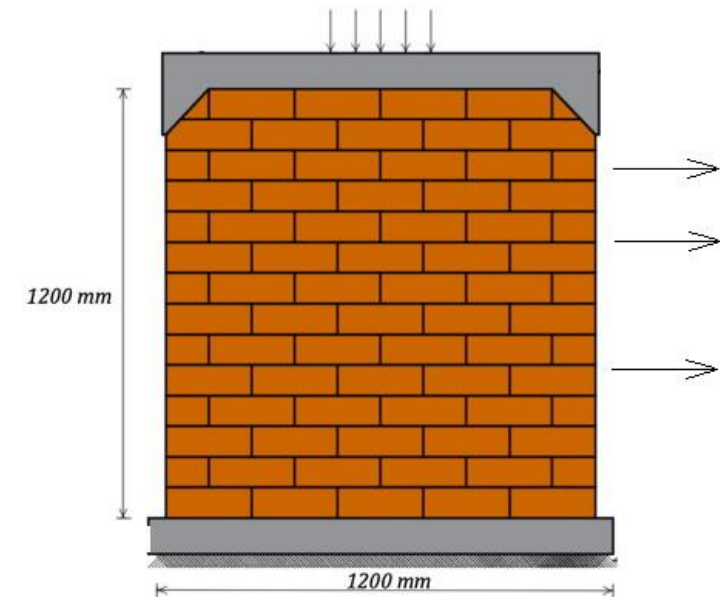
Placas

Cascas

lâminas planas

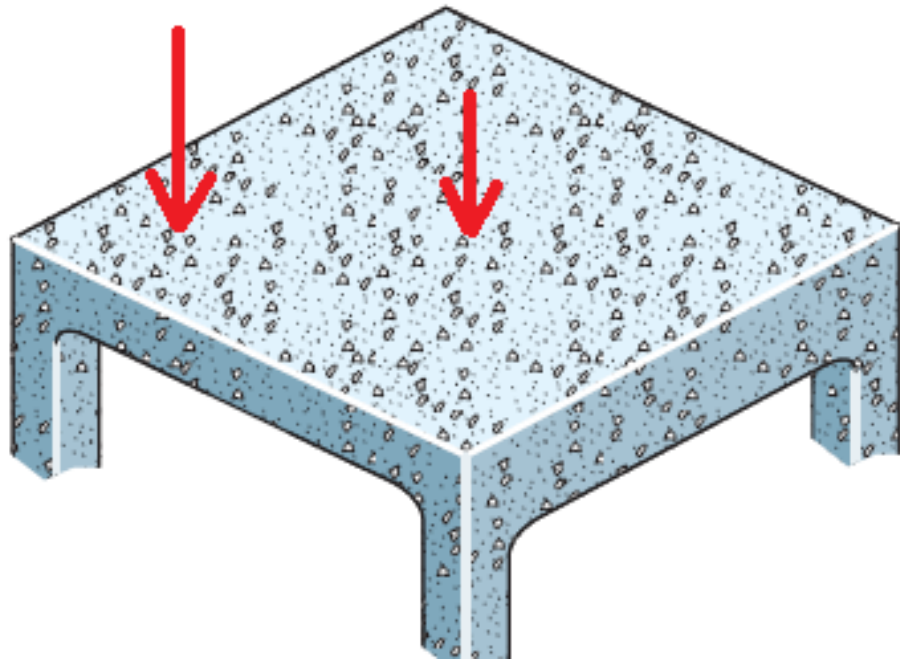
a) Chapas: solicitada por esforços com direções paralelas ao plano médio

Ex.: Viga-parede



Classificação dos elementos estruturais quanto à sua forma

b) Placas: superfície plana em que as ações são perpendiculares ao plano médio



Laje de um edifício



Radier

Classificação dos elementos estruturais quanto à sua forma

c) Casca: superfície não está contida num único plano, e são superfícies curvas

Ex.: Coberturas, silos, reservatório cilíndrico



Coberturas



reservatório cilíndrico



Silos de grãos

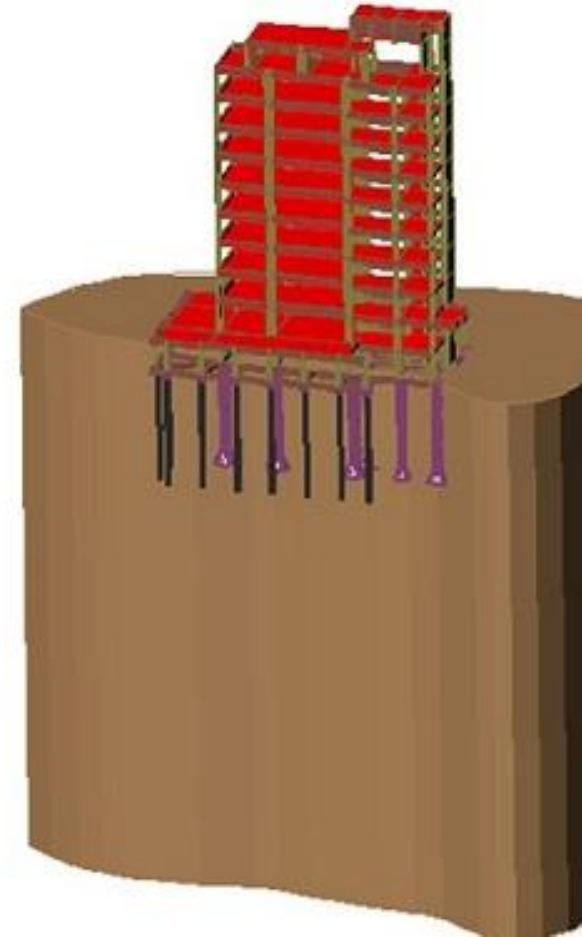
Classificação dos elementos estruturais quanto à sua forma

3) Tridimensionais (volumétricos): elementos com dimensões com a mesma ordem de grandeza

Ex.: Blocos de fundação, Solo



Edifício Yachthouse/SC, bloco de 4.600 m³ (1300 m² x 3,5m)
[81 andares e 275 metros de altura]



Solo analisado com elemento 3D

AÇÕES

Grandezas que levam a estrutura a deformar, gerando esforços internos que devem ser verificados nos projetos. Ações: são definidas por Normas Técnicas específicas.

Tipo de ações:

i. Ações permanentes: ocorrem praticamente em toda a vida da construção e com valores constantes

Peso Próprio, no concreto, $\gamma = 25 \text{ kN/m}^3$, alumínio: $\gamma = 27 \text{ kN/m}^3$

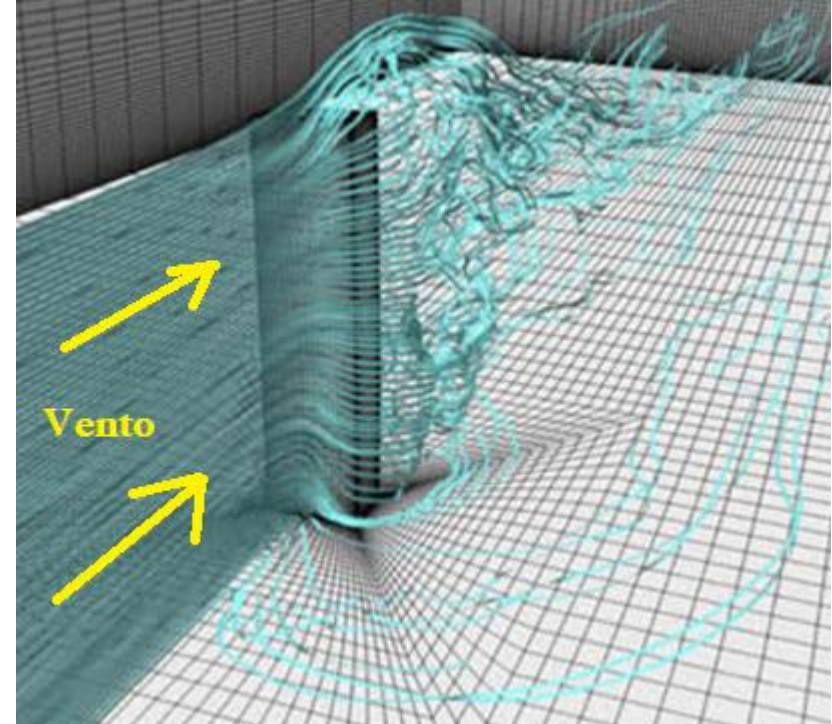
Peso dos elementos fixos nas instalações permanentes: parede, empuxo de terra, protensão.

Paredes: $q = 1,9 \text{ kN/m}^2$, cargas em escritório: $q = 2,4 \text{ kN/m}^2$

AÇÕES

ii. Ações variáveis: atuação em torno da média. Cargas acidentais, deslocamentos de apoios, variação de temperatura

Ex.: Vento nos edifícios, impacto, cargas de veículos (cargas móveis), frenagem/aceleração, pessoas no estádio, pilar de um edifício que se movimenta devido ao recalque (deformação) do solo.

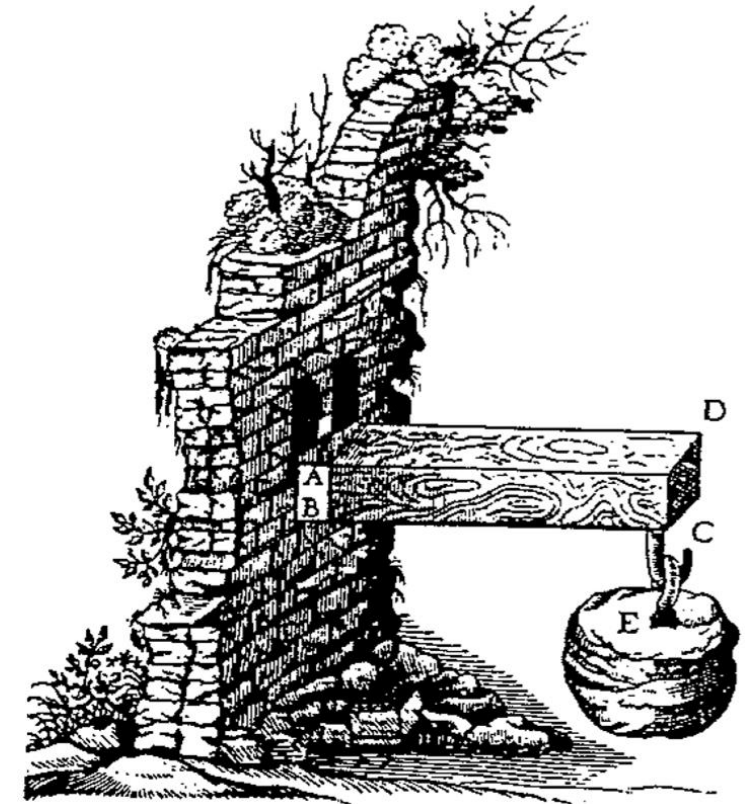
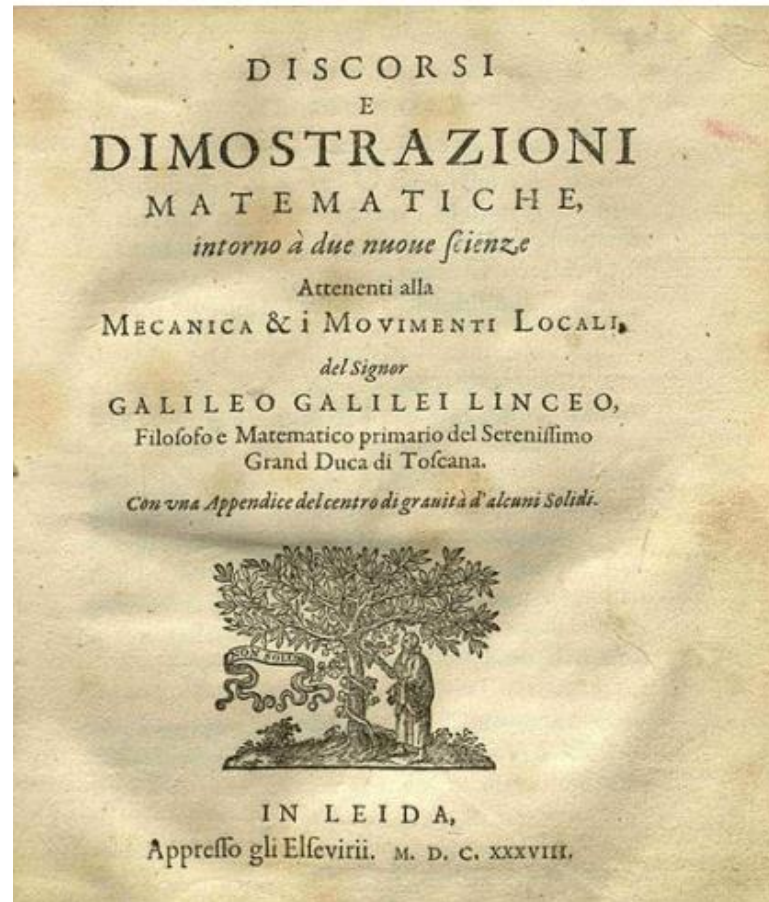


iii. Ações excepcionais: causas raras de ocorrência: explosões, colisões, incêndios.

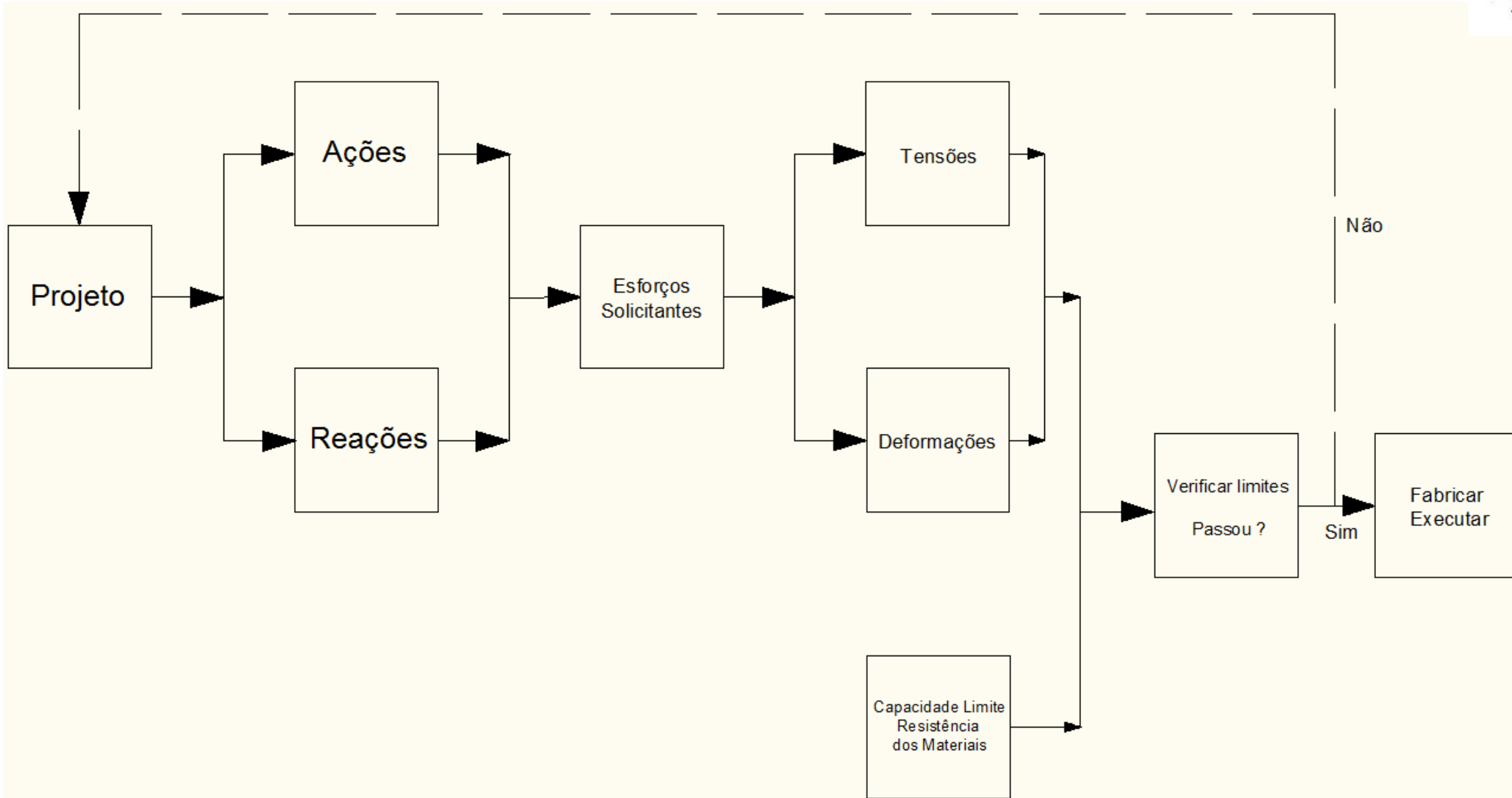
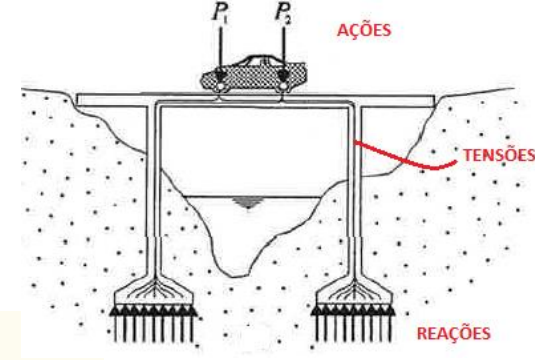
OBJETIVO DA MECÂNICA DAS ESTRUTURAS

Estudar as leis e o comportamento das estruturas para levar o projeto seguro, econômico, durável e com sustentabilidade.

Introduzido por Galileu (1638) a abordagem de estruturas na ruptura: tamanho, carga

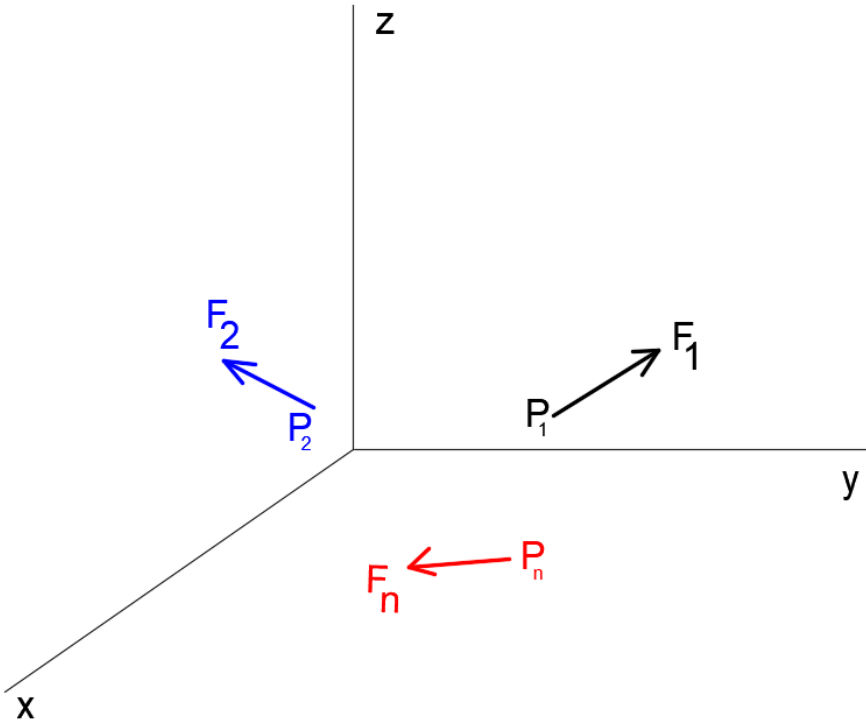


Escopo da Resistência dos Materiais



Recordação da estática dos sólidos rígidos

O conceito de força será introduzido por meio do 3º Princípio da Mecânica Clássica: “*Em cada instante, a ação mecânica de um corpo sobre um ponto material pode ser representada por um vetor (força interativa) aplicado no ponto*”.



Dado um sistema de forças $S = \{(P_1, \vec{F}_1), (P_2, \vec{F}_2), \dots, (P_n, \vec{F}_n)\}$, tem-se:

Definição 1.3

Resultante de S é a soma vetorial das forças que o compõem.

A resultante é indicada por \vec{R} , tendo-se então

$$\vec{R} = \sum_{i=1}^n \vec{F}_i .$$

$$R_x = \sum_i^n F_{xi} \quad R_y = \sum_i^n F_{yi} \quad R_z = \sum_i^n F_{zi}$$

Recordação da estática dos sólidos rígidos

Definição 1.4

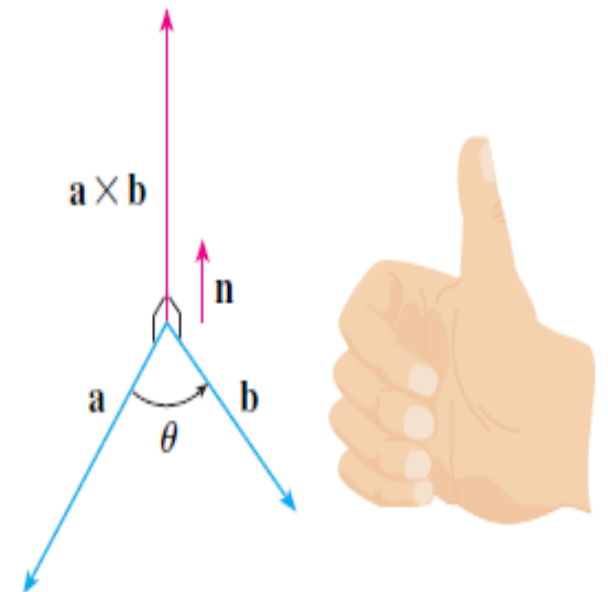
Momento de S em relação a um ponto O é a soma vetorial dos momentos de cada uma das forças do sistema em relação a esse ponto.

$$\mathbf{M}_0 = \mathbf{r} \wedge \mathbf{F}$$

Definição: Se $\mathbf{a} = \langle a_1, a_2, a_3 \rangle$ e $\mathbf{b} = \langle b_1, b_2, b_3 \rangle$ então o produto vetorial de \mathbf{a} e \mathbf{b} é o vetor:

$$\mathbf{a} \wedge \mathbf{b} = \langle a_2 b_3 - a_3 b_2, a_3 b_1 - a_1 b_3, a_1 b_2 - a_2 b_1 \rangle$$

$$\mathbf{a} \wedge \mathbf{b} = \underbrace{(a_y b_z - a_z b_y)}_{\mathbf{c}_x} \mathbf{i} + \underbrace{(a_z b_x - a_x b_z)}_{\mathbf{c}_y} \mathbf{j} + \underbrace{(a_x b_y - a_y b_x)}_{\mathbf{c}_z} \mathbf{k} = \begin{vmatrix} \mathbf{i} & \mathbf{j} & \mathbf{k} \\ a_x & a_y & a_z \\ b_x & b_y & b_z \end{vmatrix}$$



Recordação da estática dos sólidos rígidos

Regra da mão direita

Sabe-se que o momento \vec{M}_O tem a direção da reta r da Figura 1.4, passando por O e perpendicular ao plano definido pela linha de ação de (P, \vec{F}) e pelo ponto O (plano π).

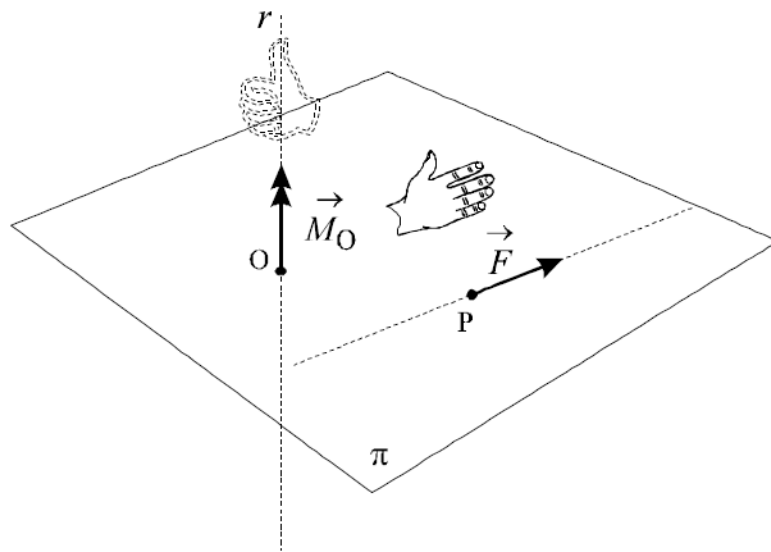


Figura 1.4

O sentido de \vec{M}_O pode ser determinado da seguinte maneira:

- no plano que contém a linha de ação de (P, \vec{F}) e é perpendicular a π , coloque a mão direita com a palma voltada para a reta r e com os dedos no sentido de \vec{F} ;
- deixe o polegar perpendicular aos demais dedos;
- o sentido de \vec{M}_O é então o apontado pelo polegar da mão direita (Figura 1.4).

$$\mathbf{a} \wedge \mathbf{b} = \underbrace{(a_y b_z - a_z b_y)}_{\mathbf{C}_x} \mathbf{i} + \underbrace{(a_z b_x - a_x b_z)}_{\mathbf{C}_y} \mathbf{j} + \underbrace{(a_x b_y - a_y b_x)}_{\mathbf{C}_z} \mathbf{k}$$

Recordação da estática dos sólidos rígidos

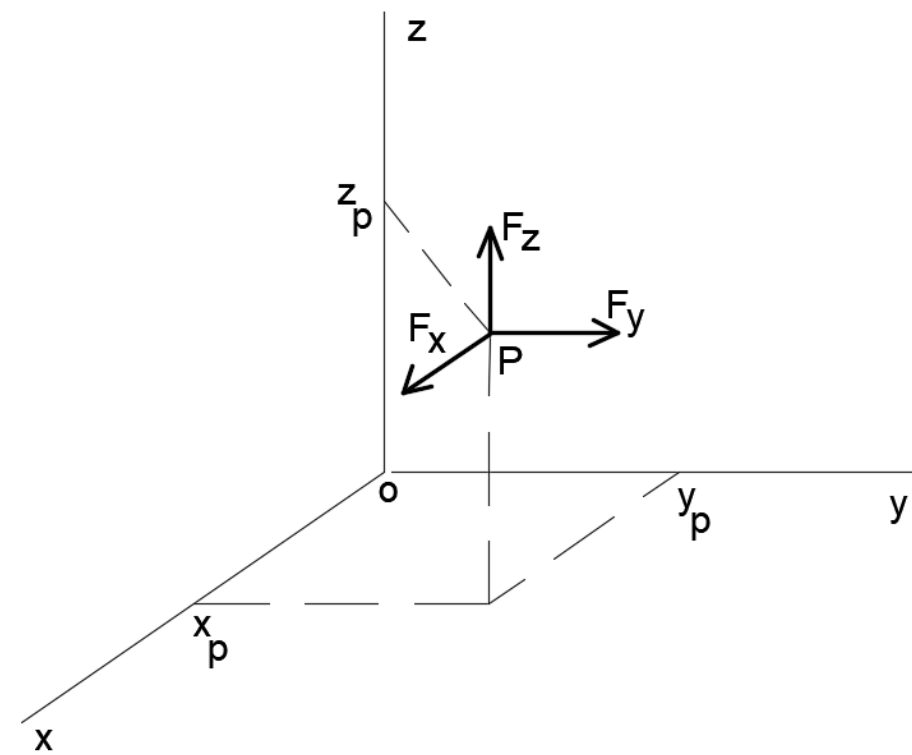
As forças em P geram que momento em “O”?

$$\mathbf{M}_O = \mathbf{r} \wedge \mathbf{F}$$

$$\mathbf{r} = (x_p - x_o)\mathbf{i} + (y_p - y_o)\mathbf{j} + (z_p - z_o)\mathbf{k}$$

$$\mathbf{F} = F_x\mathbf{i} + F_y\mathbf{j} + F_z\mathbf{k}$$

$$\mathbf{M}_O = [(x_p - x_o)\mathbf{i} + (y_p - y_o)\mathbf{j} + (z_p - z_o)\mathbf{k}] \wedge [F_x\mathbf{i} + F_y\mathbf{j} + F_z\mathbf{k}]$$



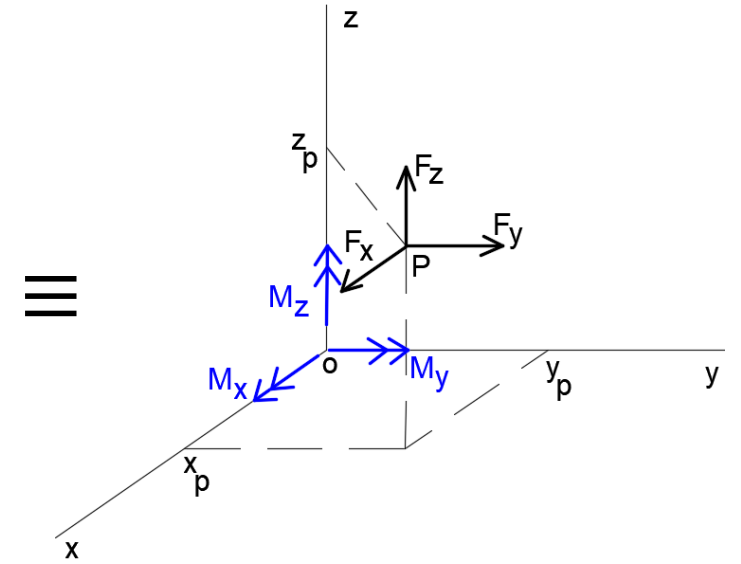
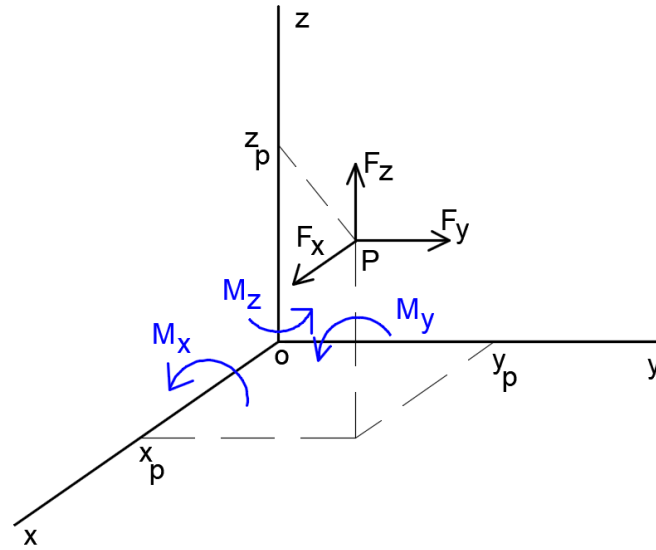
Recordação da estática dos sólidos rígidos

$$\mathbf{M}_o = M_x \mathbf{i} + M_y \mathbf{j} + M_z \mathbf{k}$$

$$M_x = (y_p - y_o)F_z - (z_p - z_o)F_y$$

$$M_y = (z_p - z_o)F_x - (x_p - x_o)F_z$$

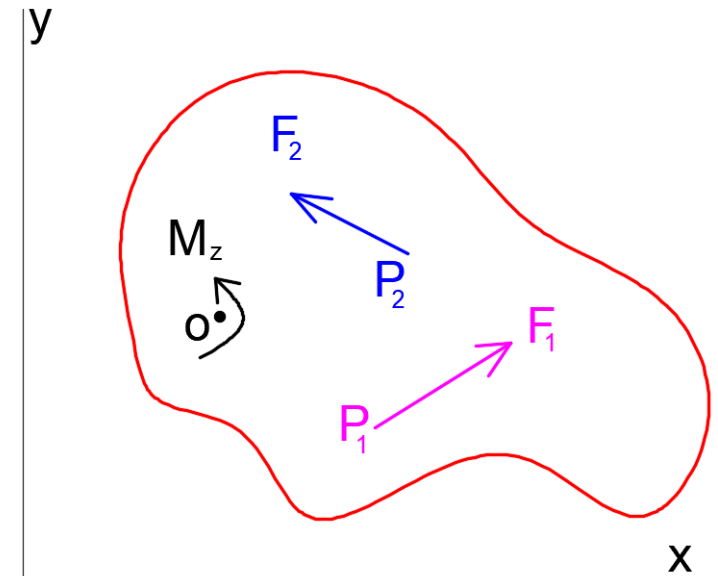
$$M_z = (x_p - x_o)F_y - (y_p - y_o)F_x$$



Sistema coplanar (Estruturas no plano)

$$R_x = \sum_i^n F_{xi} \quad R_y = \sum_i^n F_{yi}$$

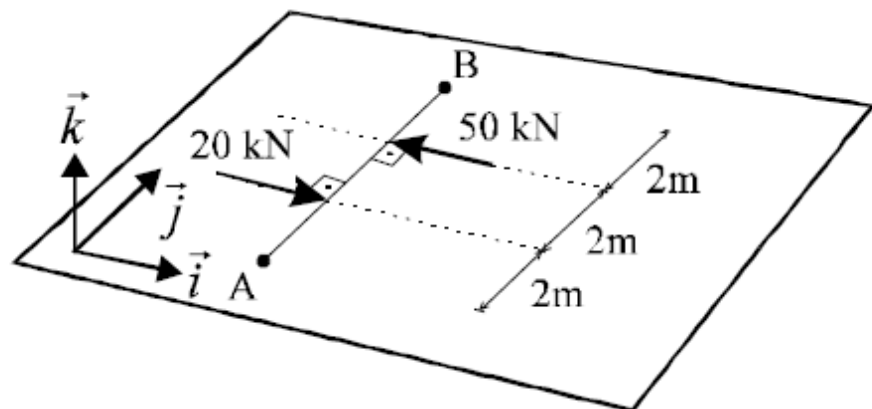
$$M_z = M = (x_p - x_o)F_y - (y_p - y_o)F_x$$



Recordação da estática: sistema mecanicamente equivalentes

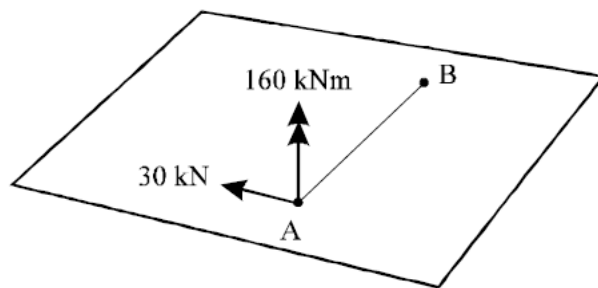
Diz-se que dois sistemas de forças S e S' são *mechanicamente equivalentes* quando suas reduções em um mesmo ponto genérico A levam aos mesmos esforços, isto é, $\vec{R} = \vec{R}'$ e $\vec{M}_A = \vec{M}'_A$.

Exemplo 1 Considere-se a barra da figura em que são aplicadas duas forças coplanares, que constituem o sistema de esforços S . Obtenha um sistema equivalente em A

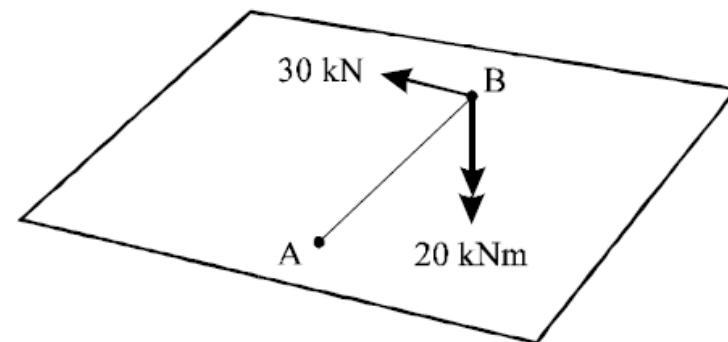


$$\vec{R} = 20\vec{i} - 50\vec{i} = -30\vec{i}$$

$$\vec{M}_A = -20 \cdot 2\vec{k} + 50 \cdot 4\vec{k} = 160\vec{k}$$



Sistema equivalente em B



Exemplo 2

Determinar para que ponto da barra da Figura 1.25 a redução do sistema de forças aplicadas conduz exclusivamente à resultante R .

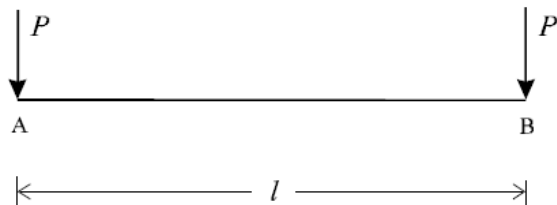


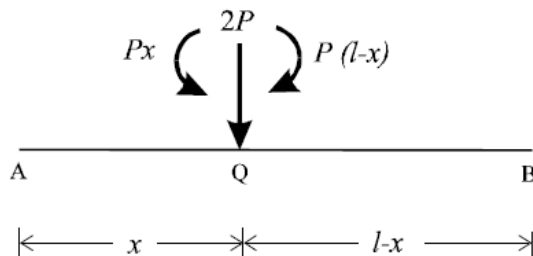
Figura 1.25

A solução direta consiste na redução do sistema em um ponto genérico Q da barra e na determinação de qual deve ser a posição do ponto Q para que o momento de redução se anule.

A redução do sistema em Q leva aos esforços indicados na Figura 1.26.

O momento de redução é

$$M_Q = P \cdot x - P \cdot (l - x); \quad (1.30)$$



$$M_Q = P \cdot x - P \cdot (l - x) = 0 \quad (1.31)$$

$$2 P \cdot x - P \cdot l = 0 \quad (1.32)$$

$$x = \frac{l}{2}. \quad (1.33)$$

Conclui-se, então, que o polo no qual o sistema de forças da Figura 1.25 se reduz exclusivamente à resultante é o ponto médio da barra, como se indica na Figura 1.27.

Como já se verificou, a redução de um sistema de forças em um ponto leva a um sistema mecanicamente equivalente ao sistema que já foi reduzido. São, portanto, mecanicamente equivalentes os dois sistemas representados na Figura 1.28, onde o símbolo \equiv indica a equivalência mecânica entre eles.

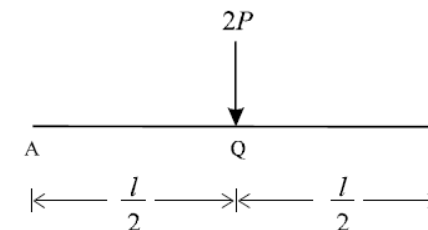


Figura 1.27

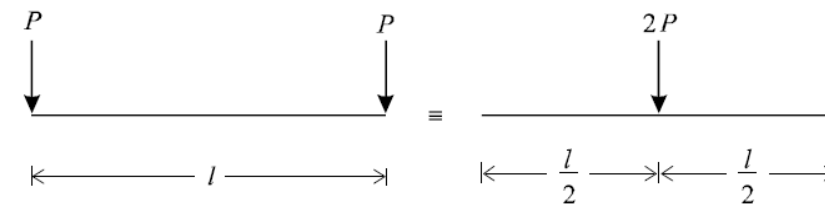


Figura 1.28

Exemplo 3

Aplicar na barra da Figura 1.31 uma única força mecanicamente equivalente ao sistema aplicado

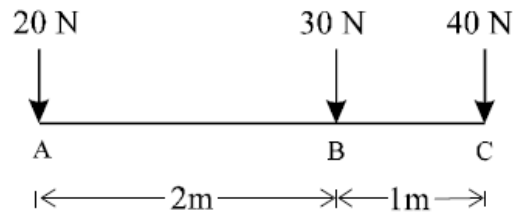


Figura 1.31

A força procurada é a resultante do sistema, mostrada na Figura 1.32.

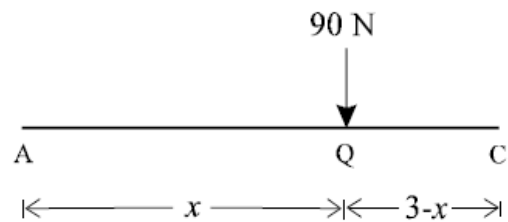


Figura 1.32

A redução do sistema da Figura 1.31 no ponto A leva ao momento

$$M_A = -30 \cdot 2 - 40 \cdot 3 = -180 \text{ Nm}; \quad (1.35)$$

a redução da resultante da Figura 1.32 nesse mesmo ponto leva ao momento

$$M_A = -90 \cdot x. \quad (1.36)$$

Impondo que esses dois momentos sejam iguais, obtém-se

$$M_A = -180 = -90 \cdot x \Rightarrow x = \frac{180}{90} = 2 \text{ m}. \quad (1.37)$$

São portanto mecanicamente equivalentes os dois sistemas da Figura 1.33.

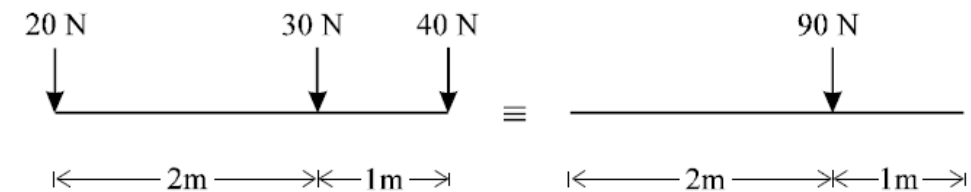
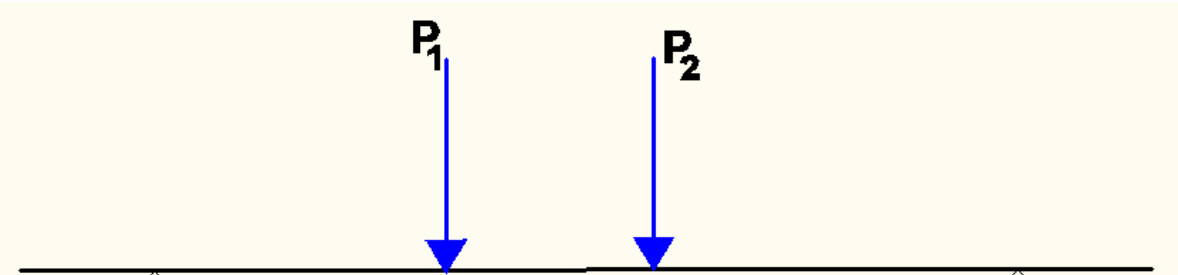
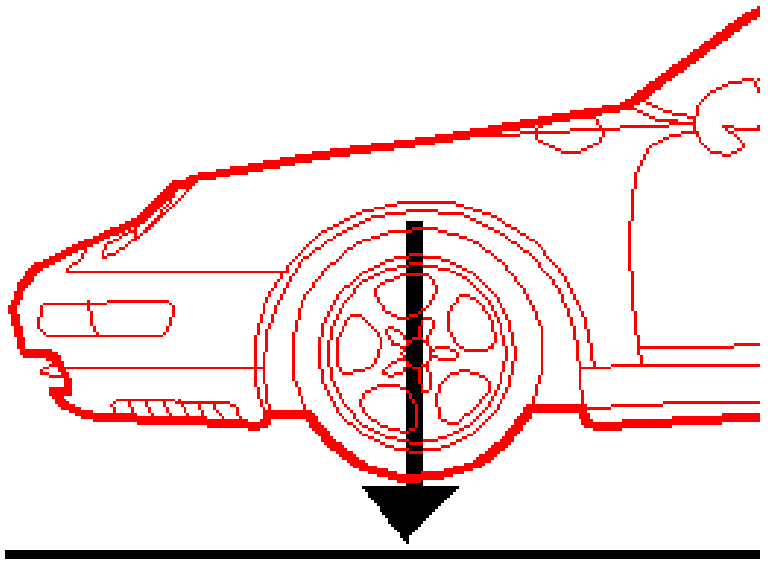
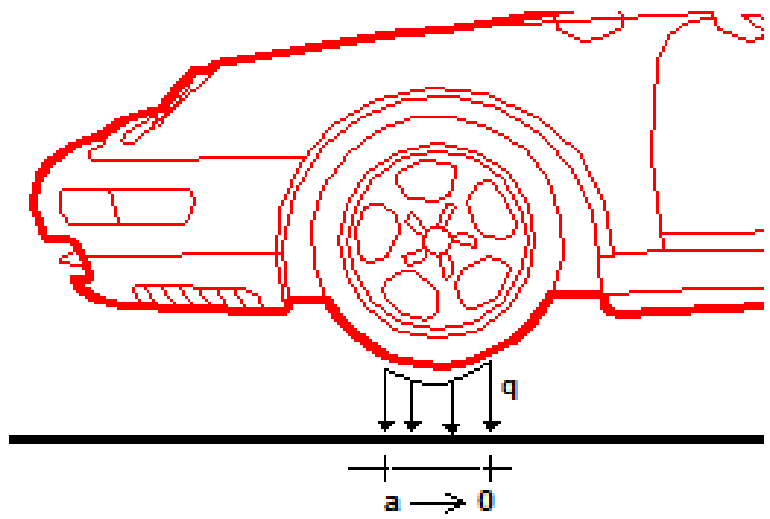


Figura 1.33

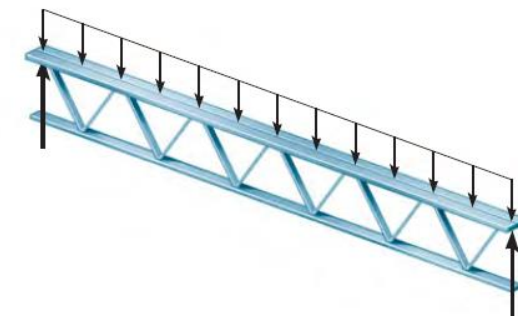
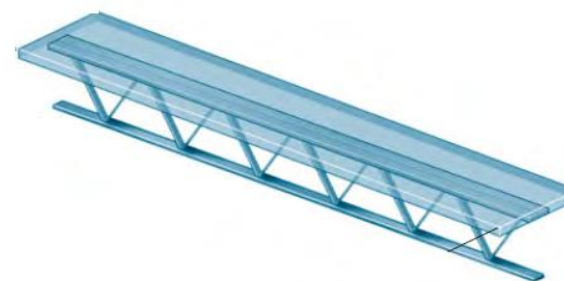
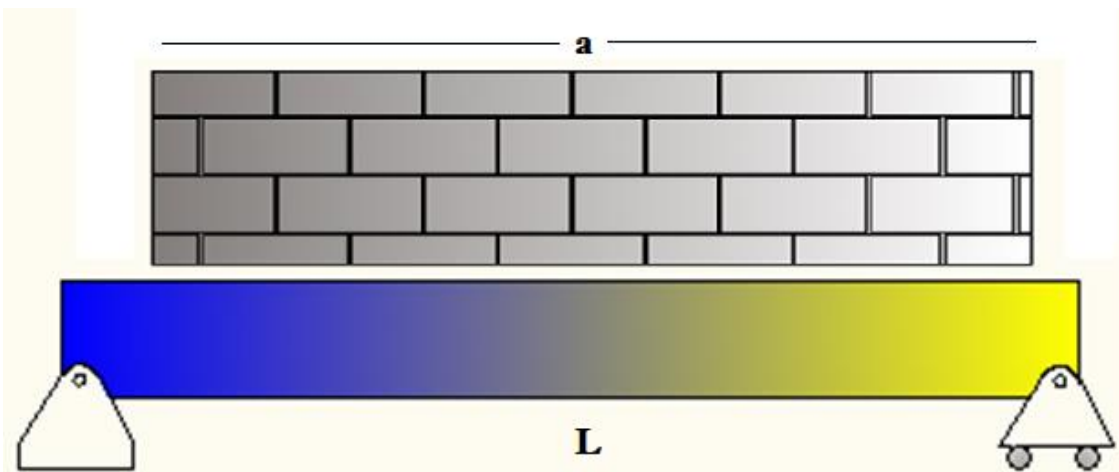
Ações: Tipos de cargas

a) Forças Concentradas



Ações: cargas distribuídas (q , unidade: F/L)

b) Carga distribuída constantemente Ex.: parede sobre uma viga

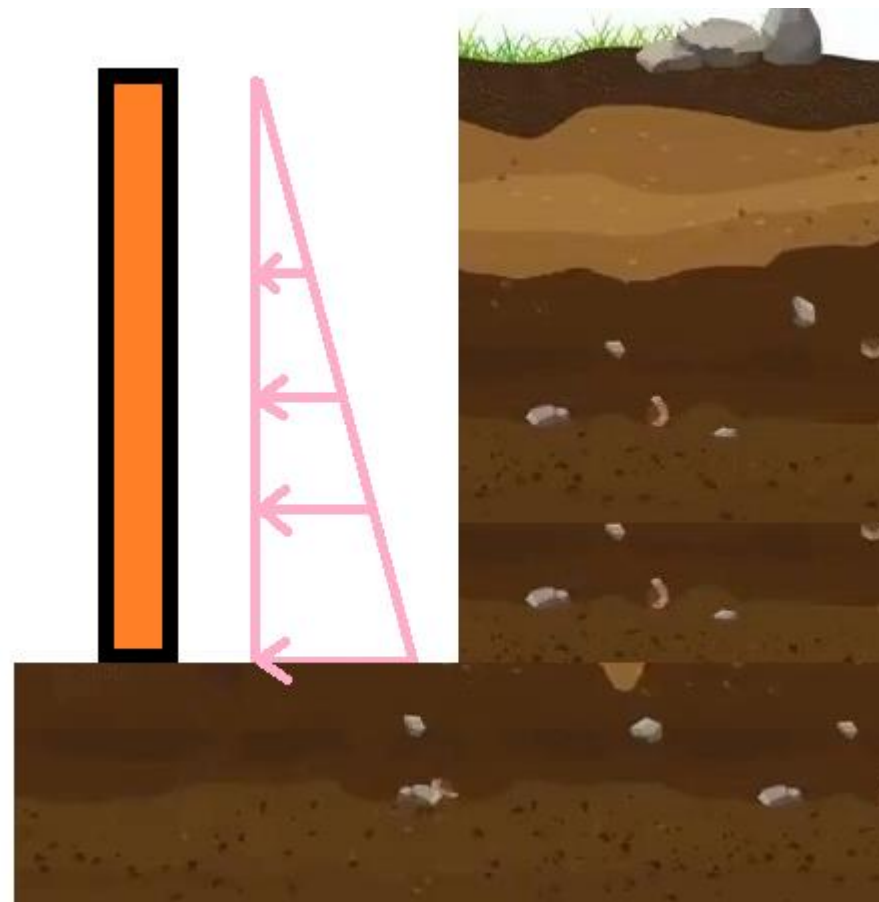
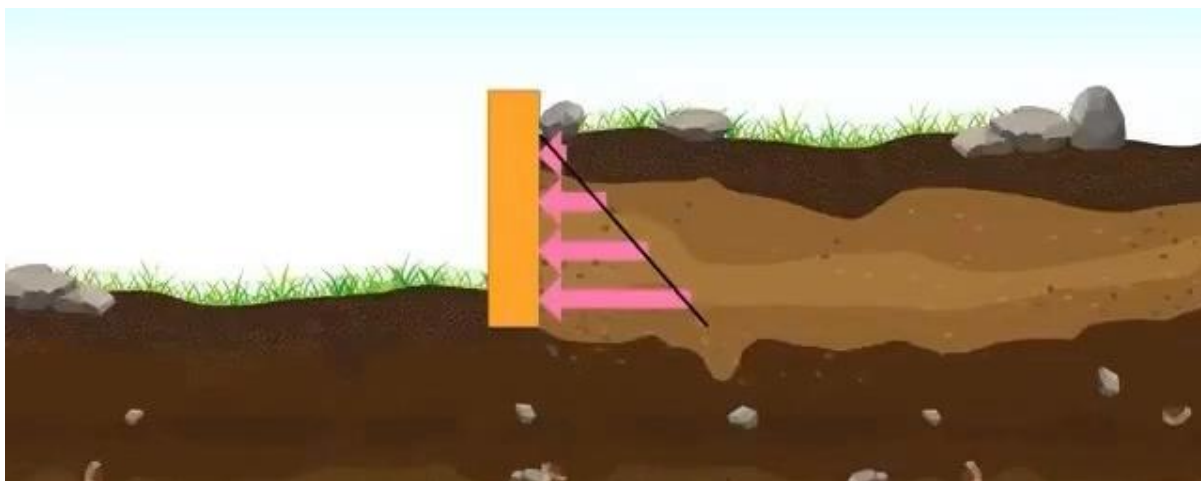


a não é muito pequeno em relação a L

Ações: cargas distribuídas (q , unidade: F/L)

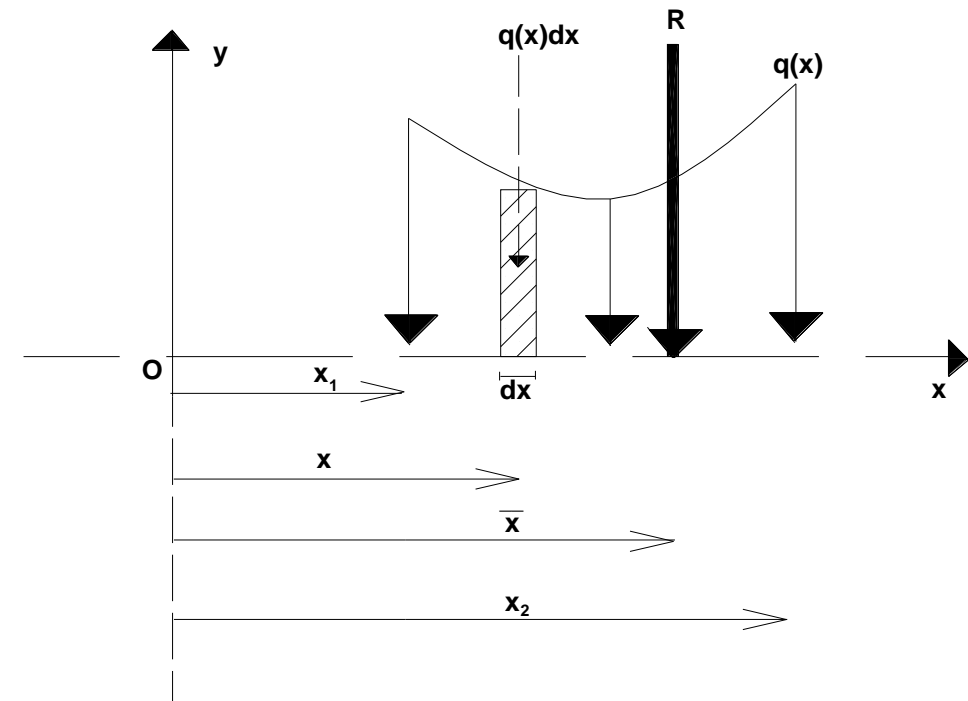
c) Carga distribuída linearmente

Ex.: empuxo de terra, água



Ações: cargas distribuídas (q, unidade: F/L)

Como calcular a resultante da carga distribuída?



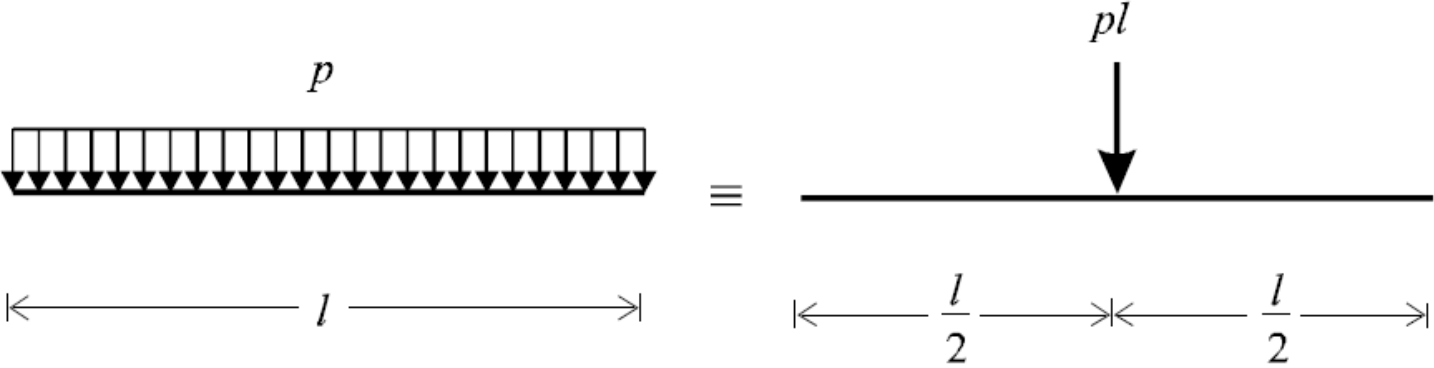
E qual é a posição da resultante (R)?

$$\bar{x} = \frac{\int_{x_1}^{x_2} q(x) \cdot x \cdot dx}{R} = \frac{\int_{x_1}^{x_2} q(x) \cdot x \cdot dx}{A} = \frac{\int_{x_1}^{x_2} q(x) \cdot x \cdot dx}{\int_{x_1}^{x_2} q(x) \cdot dx} \text{ (CG da área)}$$

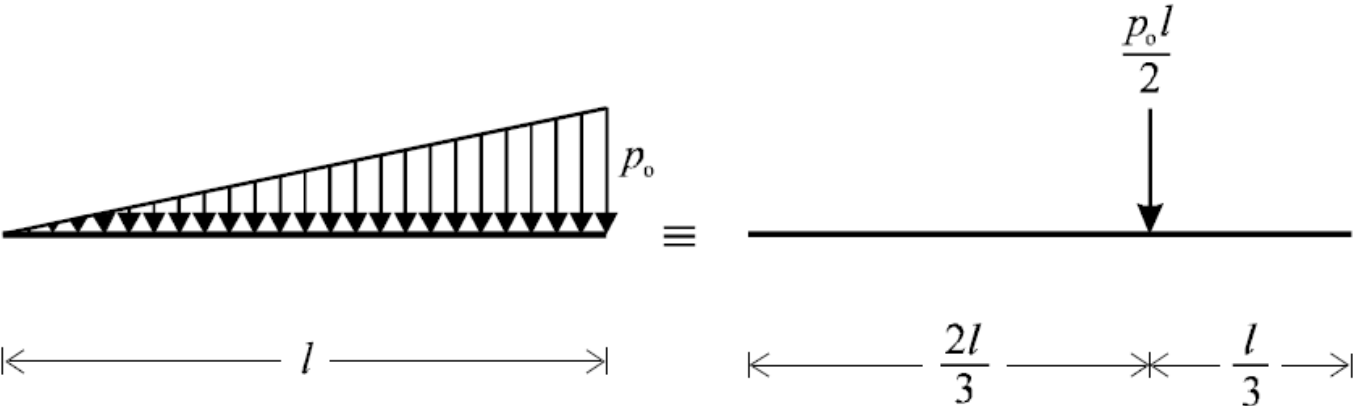
$$R = \int_{x_1}^{x_2} q(x) \cdot dx = \int_{x_1}^{x_2} dF = \text{Área}$$

Substituindo o carregamento distribuído por uma força concentrada estaticamente equivalente para os dois casos a seguir, tem-se as respostas indicadas.

Exemplo 4



Exemplo 5



Estruturas Estáticas

Estática dos sistemas rígidos

Equações de Equilíbrio:

$$R = m \cdot a = 0 \xrightarrow{a=0} R = 0; \quad \sum R = 0 \quad (\text{Forças}); \quad \sum M = 0 \quad (\text{Momento})$$

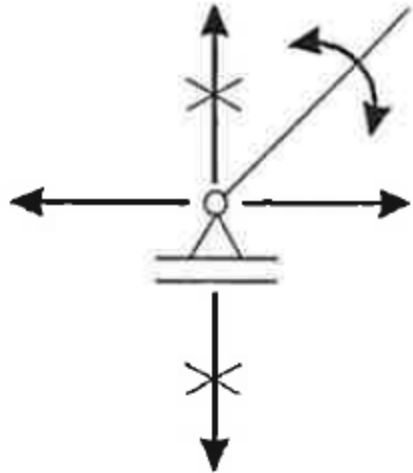
$$\sum F_x = 0, \quad \sum F_y = 0, \quad \sum M_A = 0$$

A é um ponto qualquer do plano da estrutura (pólo)

Restrições de movimento e reações associadas (plano)

Duas translações e uma rotação

a) 1º. Gênero ou articulação móvel ou apoio simples: impede uma translação no plano



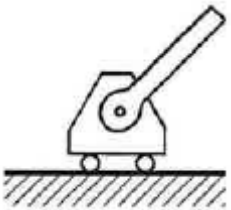
,



,

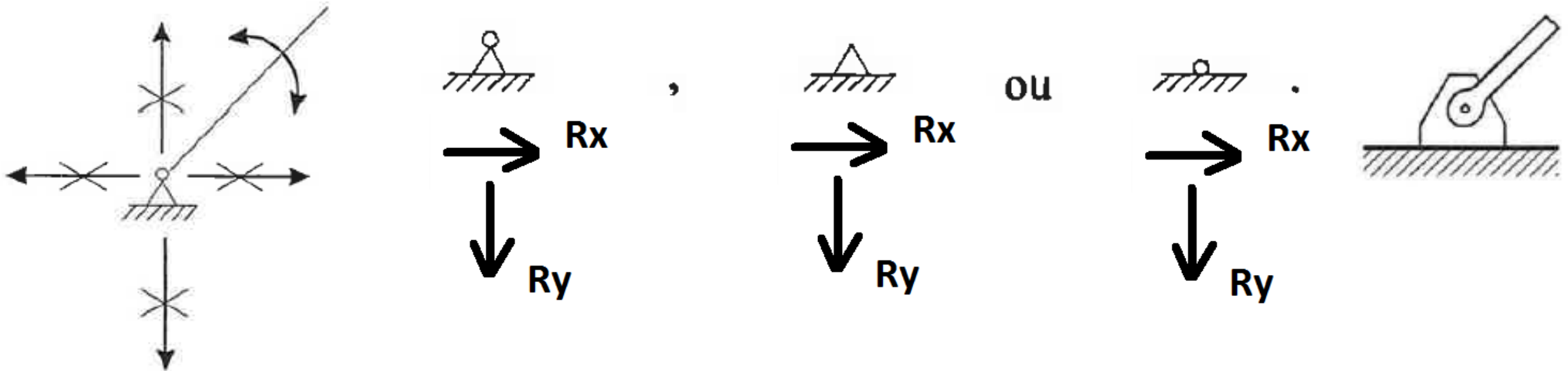


ou



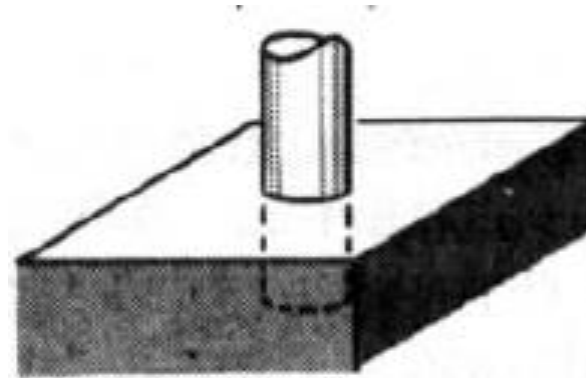
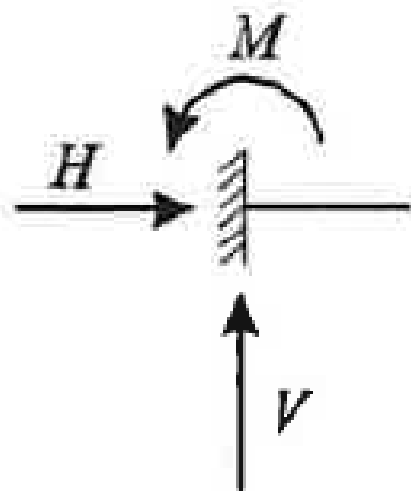
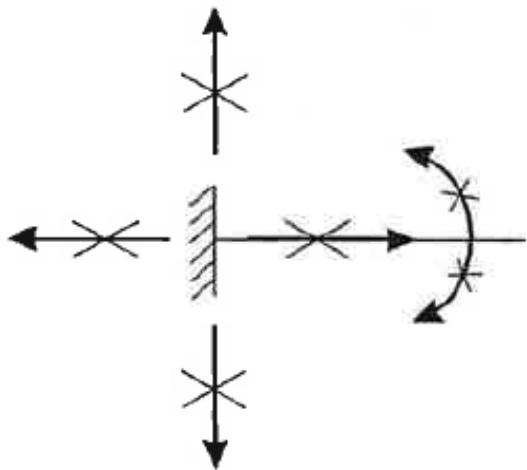
Graus de liberdade e apoios (plano)

b) 2º. Gênero ou articulação fixa/apoio fixo: impedem duas translações no plano

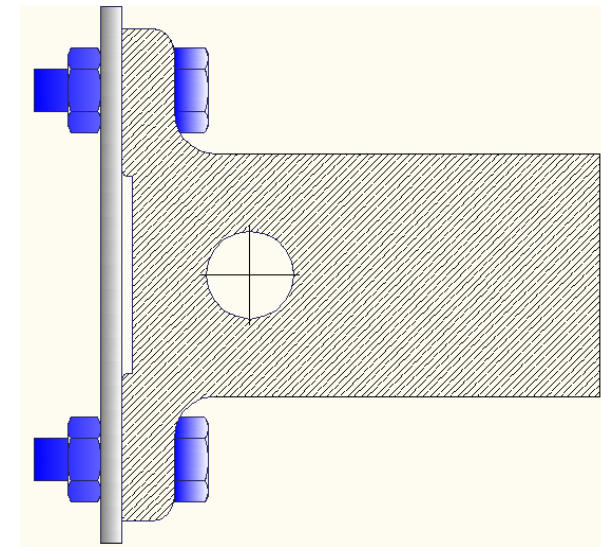


Graus de liberdade e apoios (plano)

c) Engaste: impedem duas translações e uma rotação no plano

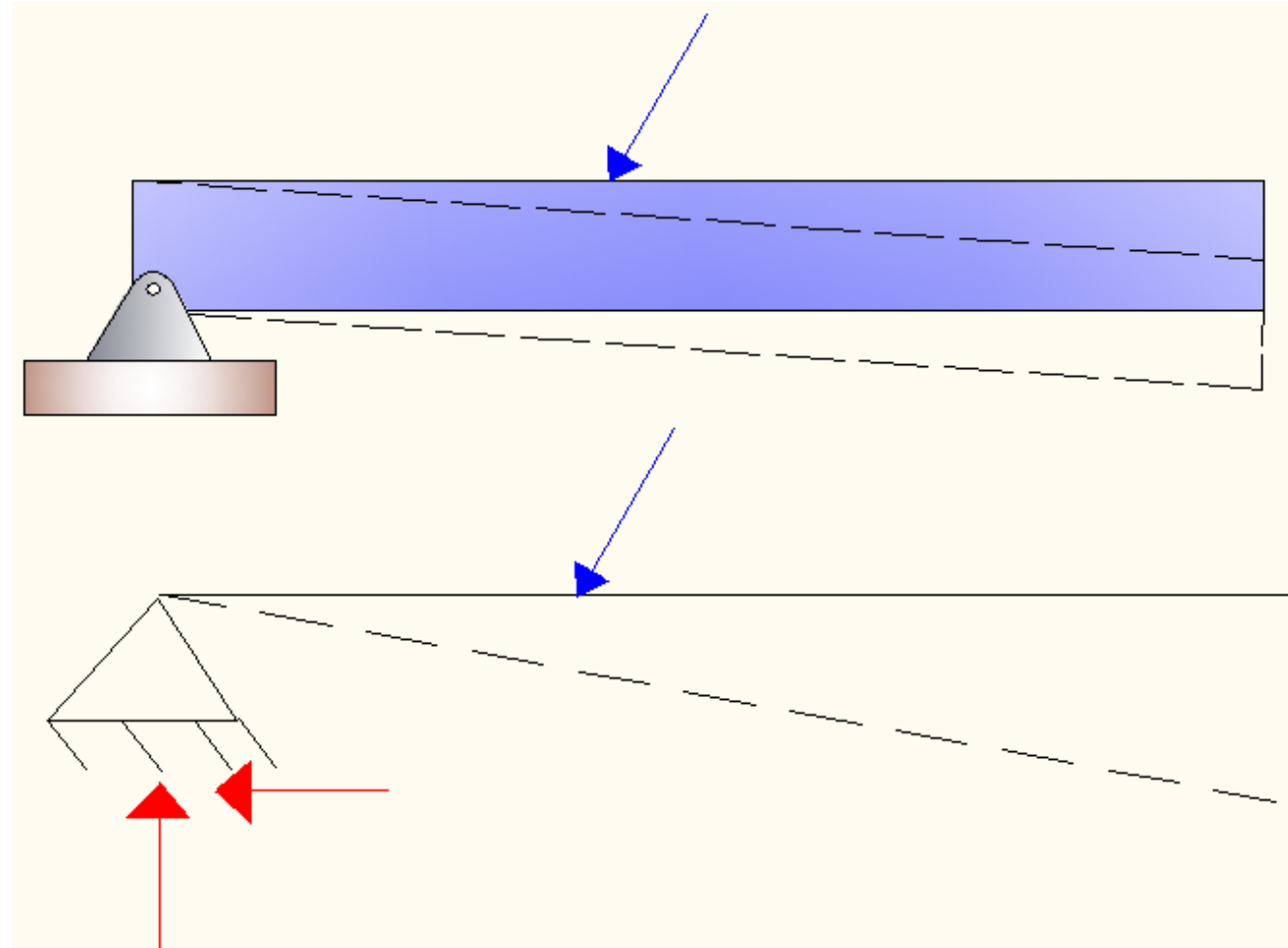


Engastamento



Classificação das estruturas quanto à estaticidade

a) Estrutura Hipostática: menos de 3 vínculos

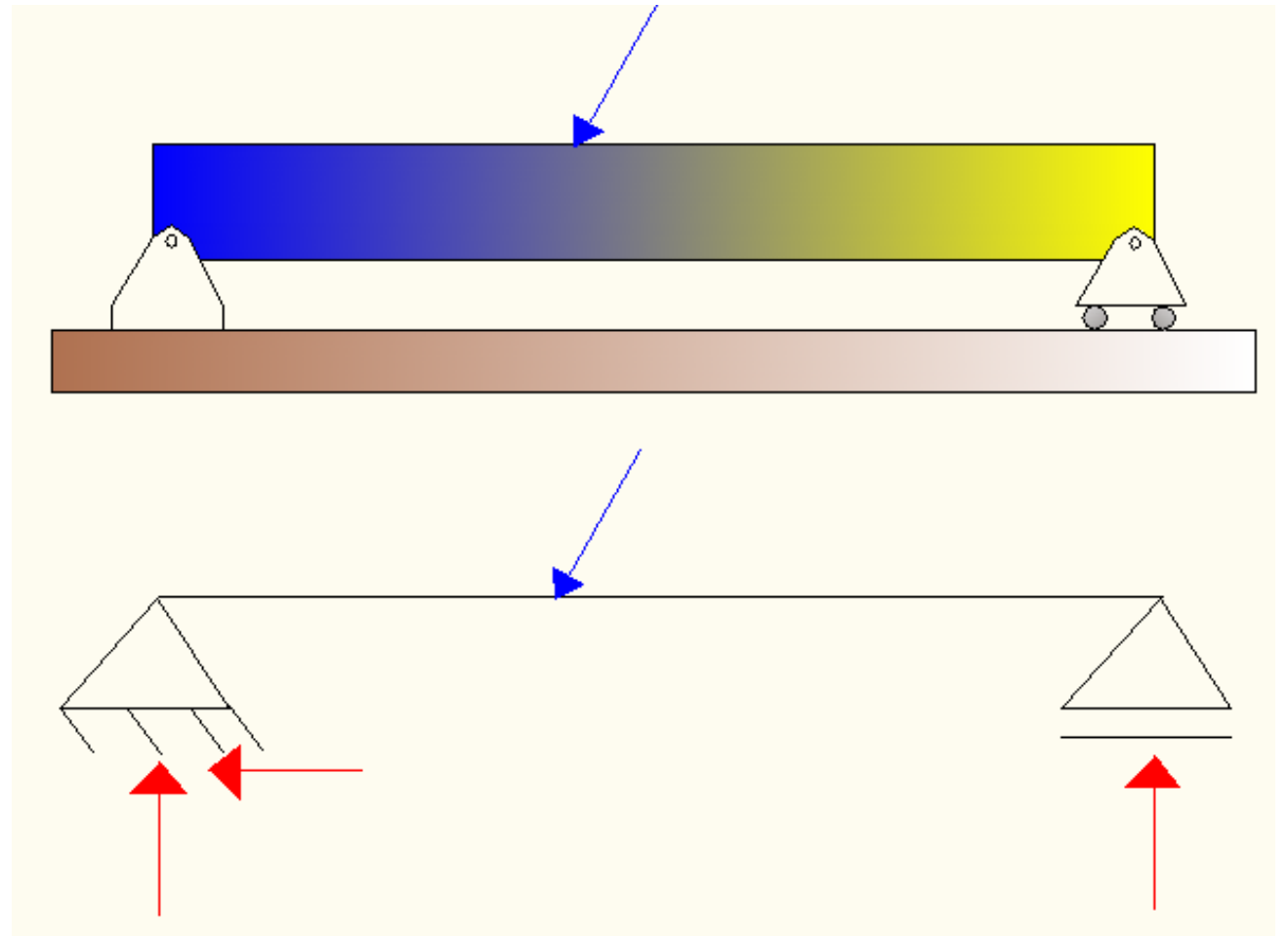


Algun movimento está livre

Classificação das estruturas quanto à estaticidade

b) Estrutura Isostática: exatamente 3 vínculos

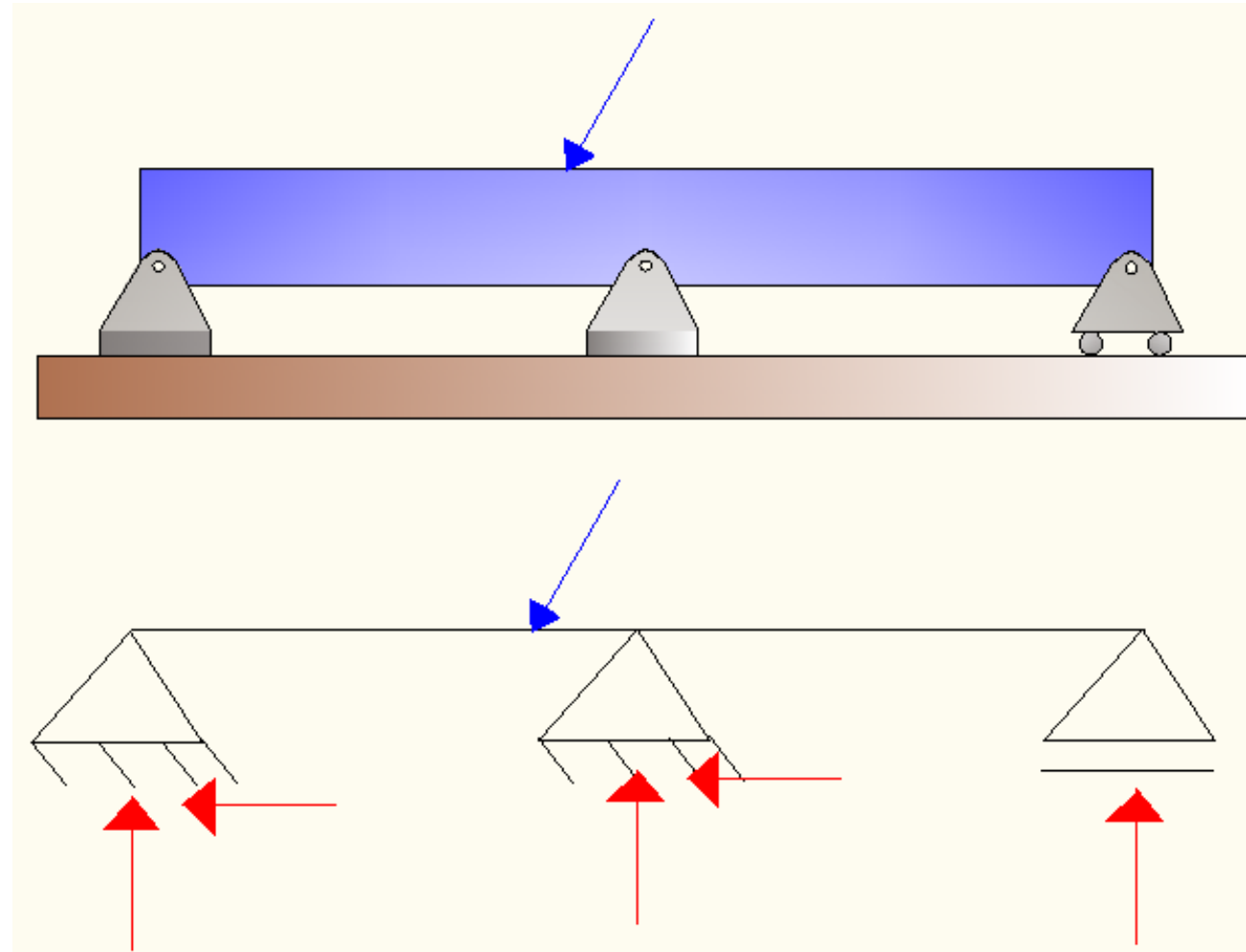
- **3 movimentos impedidos**



Classificação das estruturas quanto à estaticidade

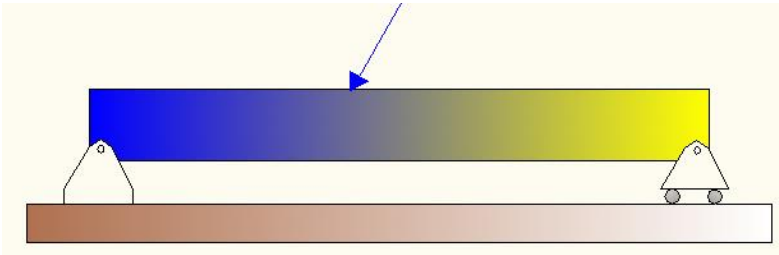
c) Estrutura Hiperestática: mais de 3 vínculos

- **Mais de 3 movimentos impedidos**

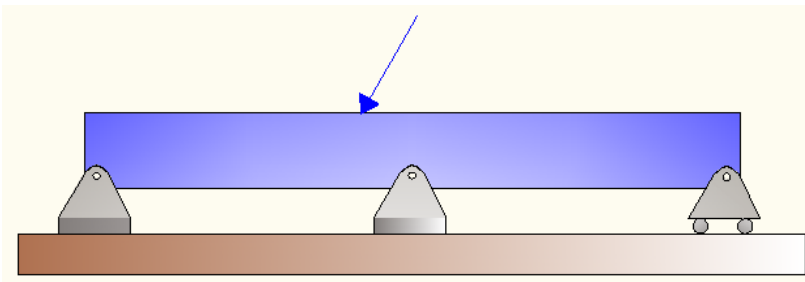


Estruturas isostáticas e hiperestáticas deformam

Serão estudados nesse curso esses tipos

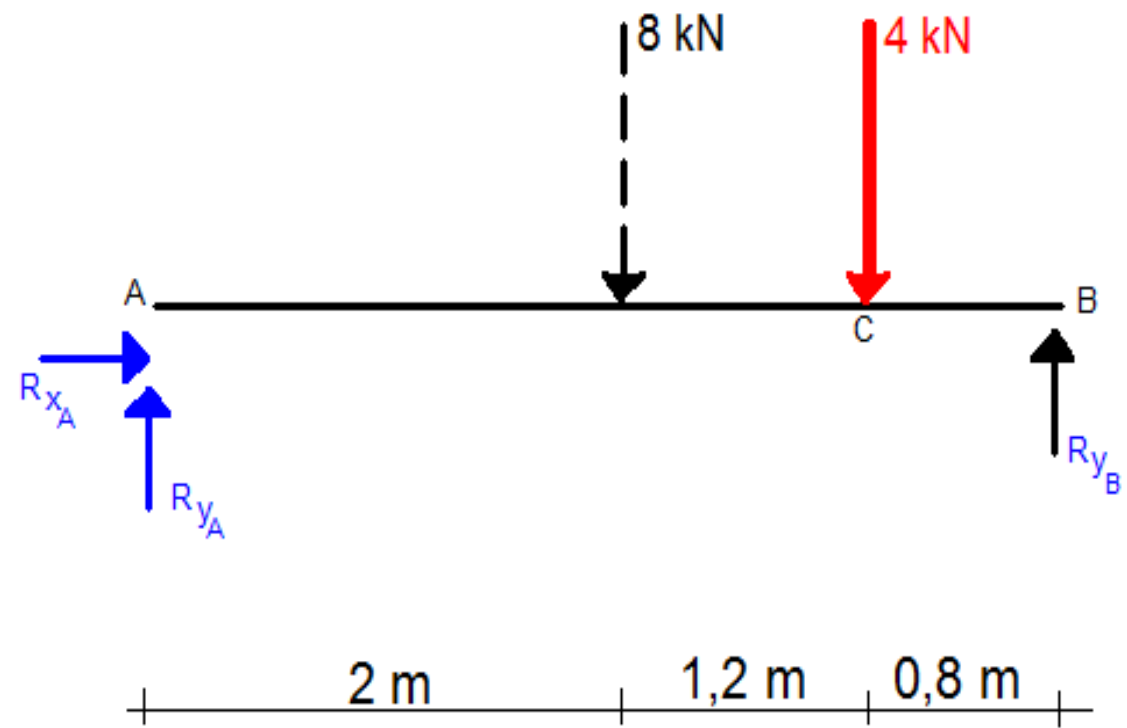
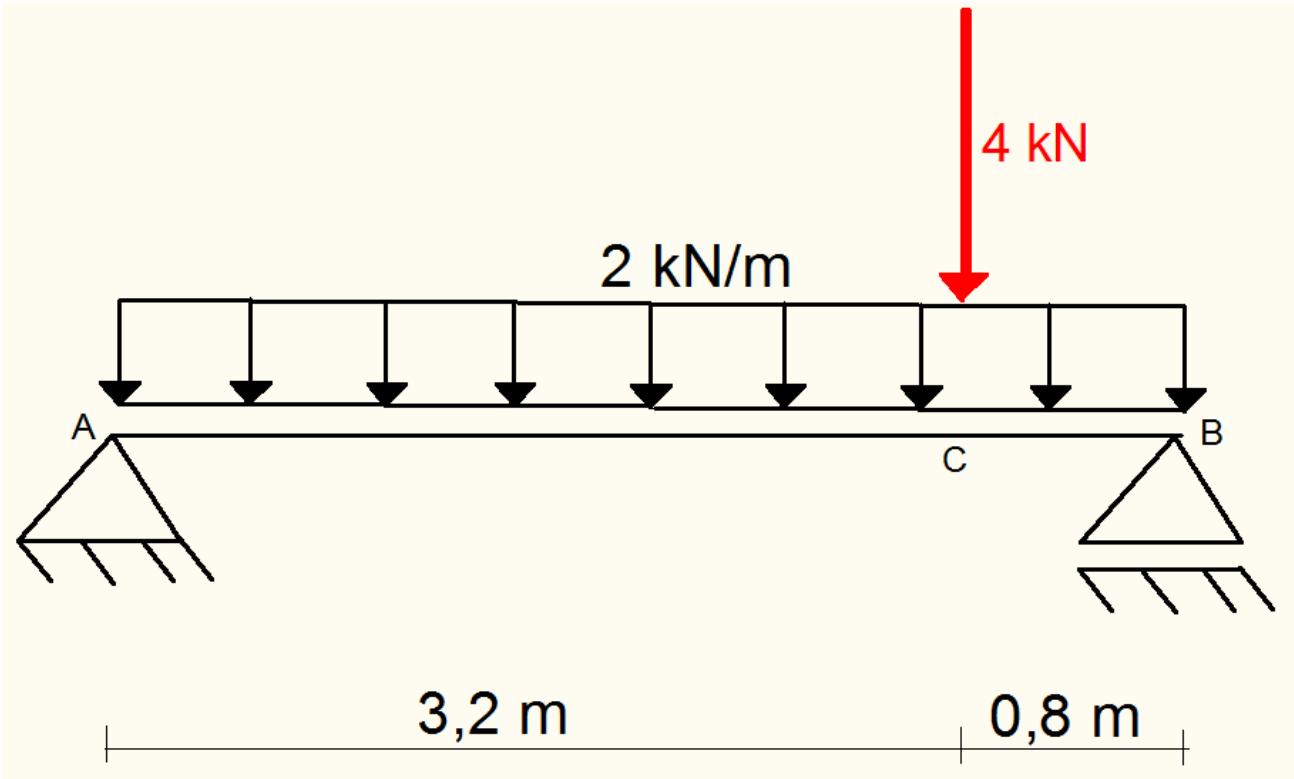


Isostáticas, 95% do curso



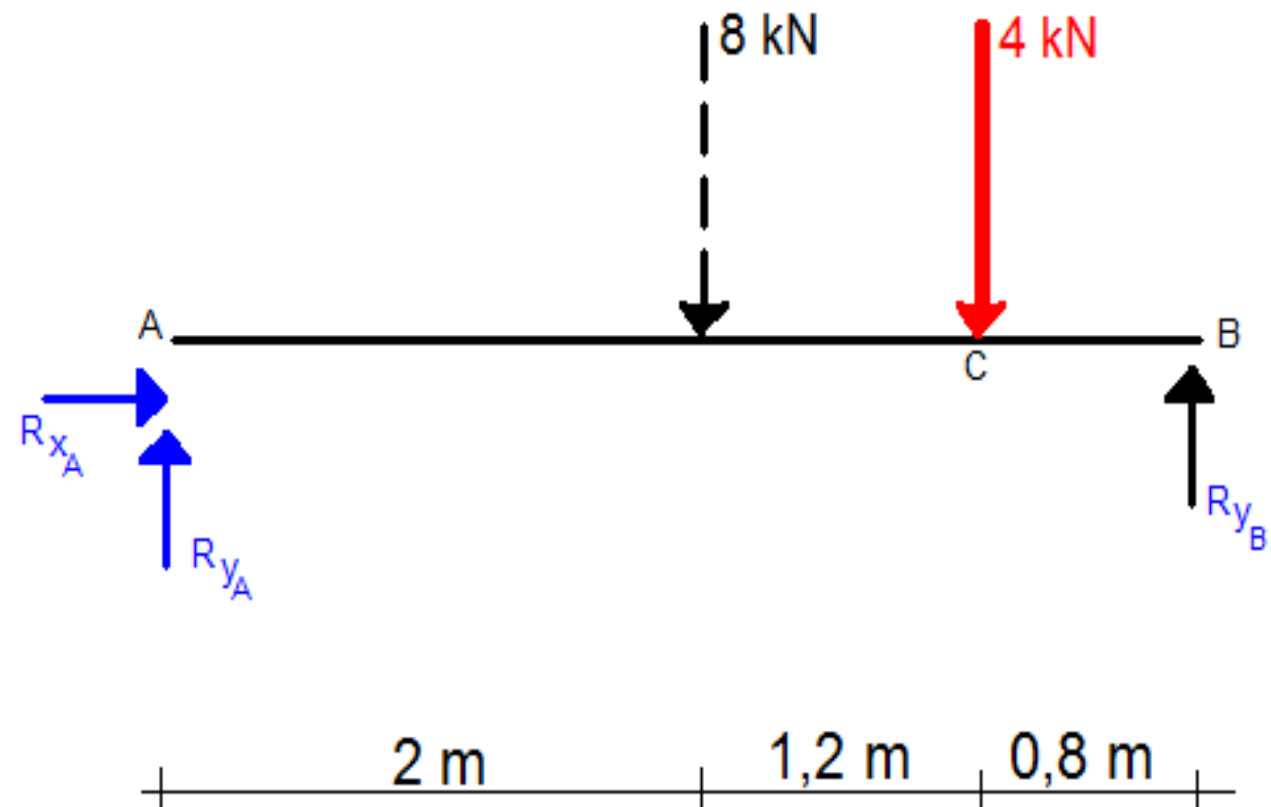
Hiperestáticas, 5% do curso

Exemplo 6: Calcule as reações da estrutura



$$\sum F_x = 0: \quad R_{xA} = 0$$

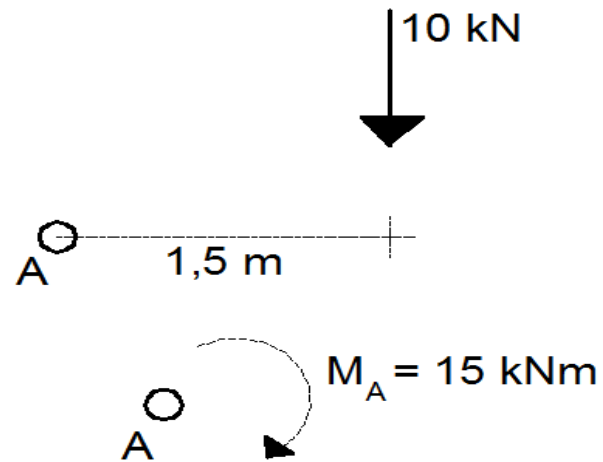
$$\sum F_y = 0: \quad R_{yA} + R_{yB} - 12 = 0$$



Lembrando que:

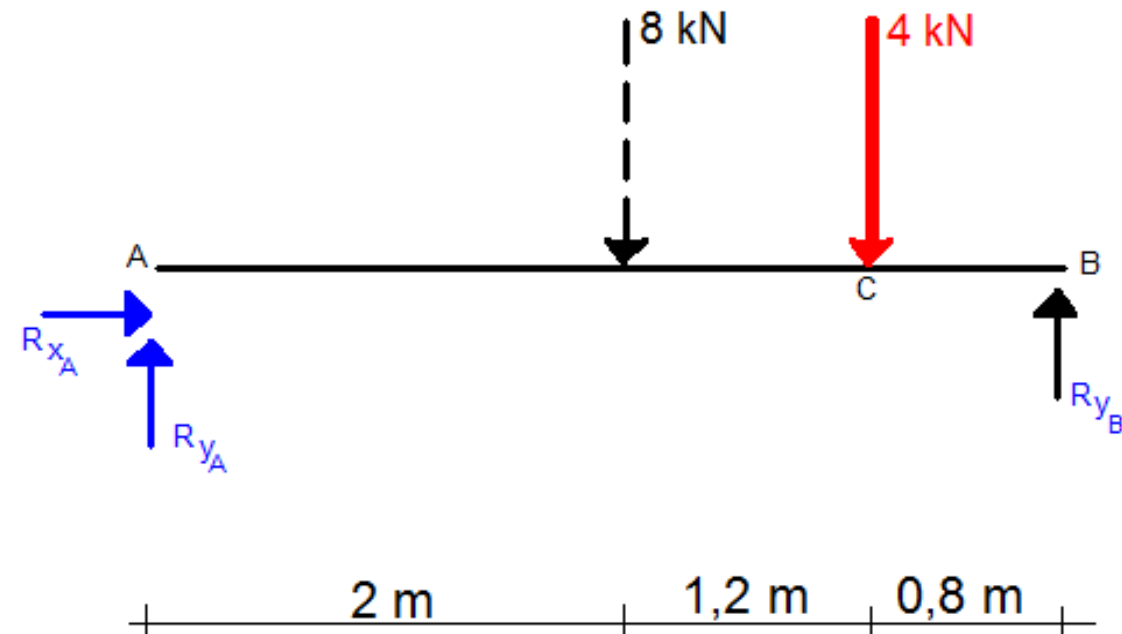
$$\vec{M}_O = \vec{OP} \wedge \vec{F}$$

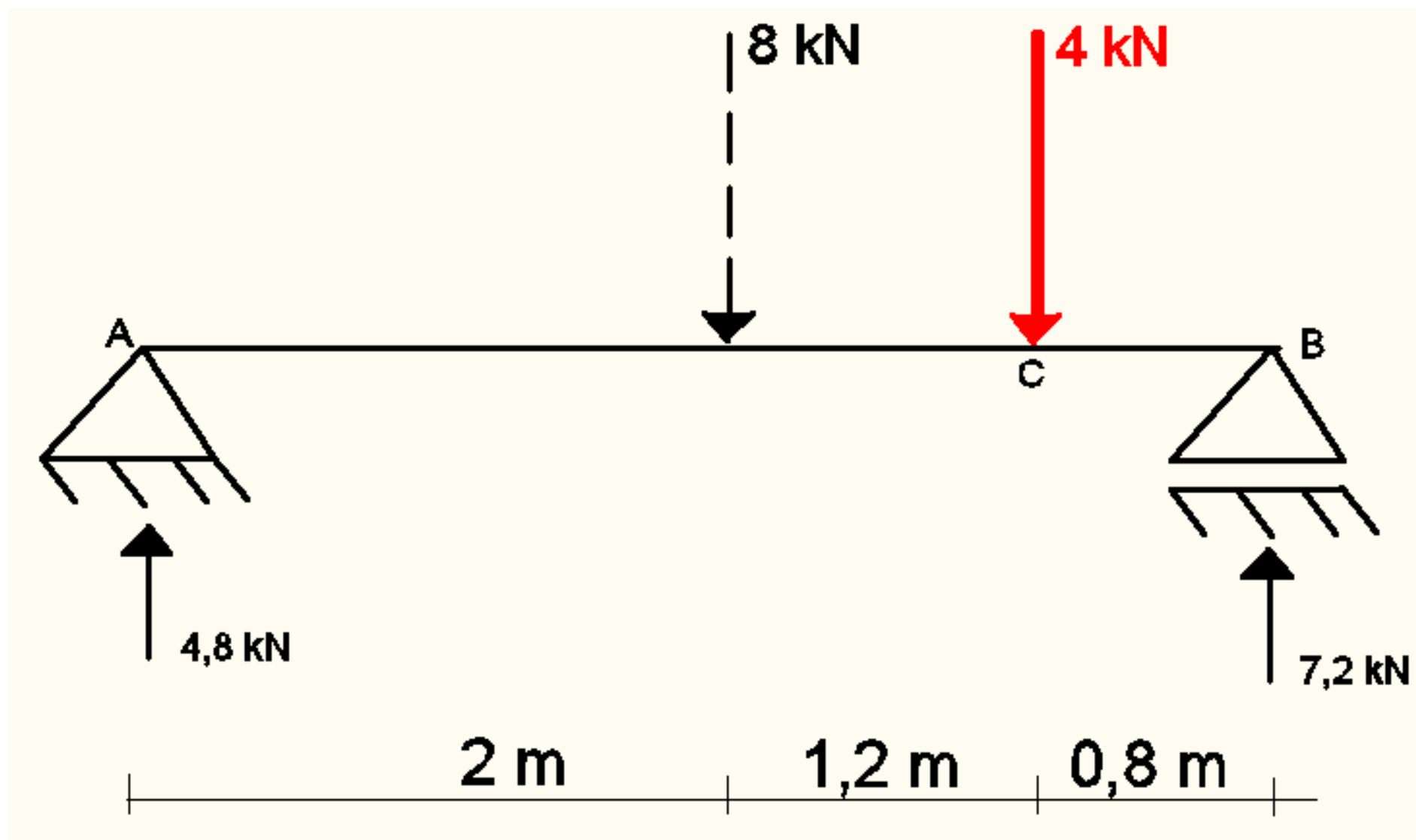
$$\|\vec{M}_O\| = \|\vec{OP}\| \cdot \|\vec{F}\| \sin \alpha$$



$$\sum M_A = 0: \quad + \curvearrowright \quad 4,0 \cdot R_{YB} - 8,0 \cdot 2,0 - 4,0 \cdot 3,2 = 0 \rightarrow R_{YB} = 7,2 \text{ kN}$$

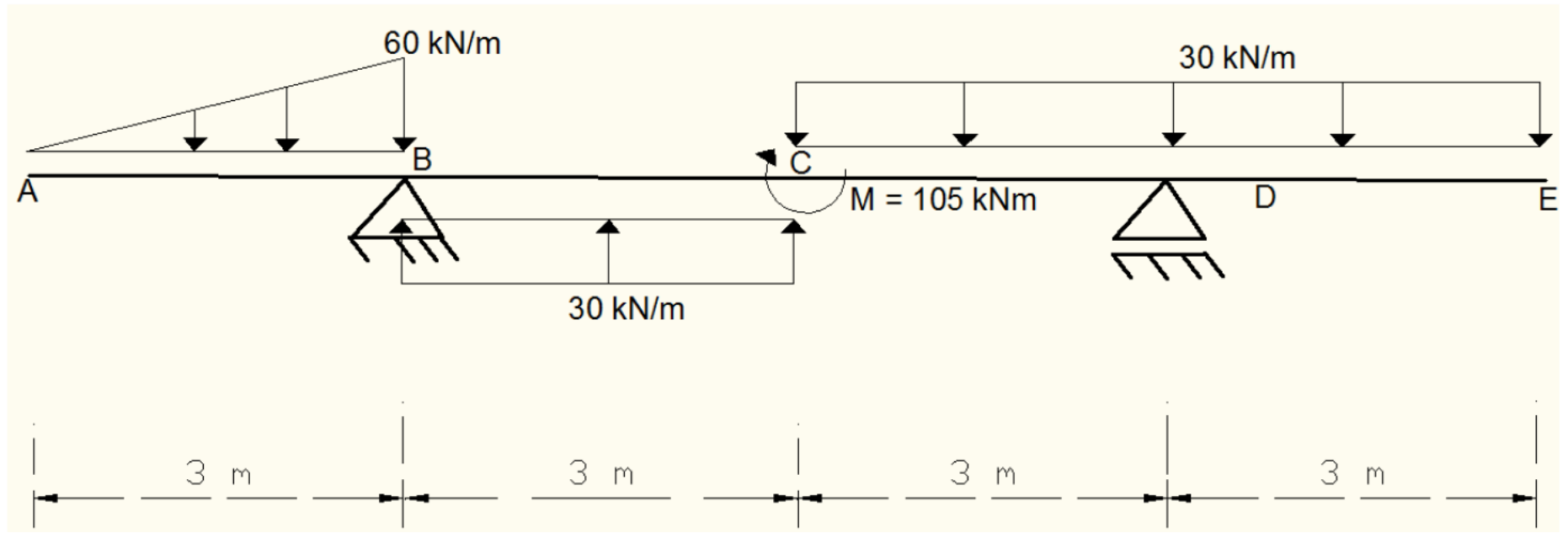
$$\therefore R_{YA} = 12 - 7,2 = 4,8 \text{ kN}$$



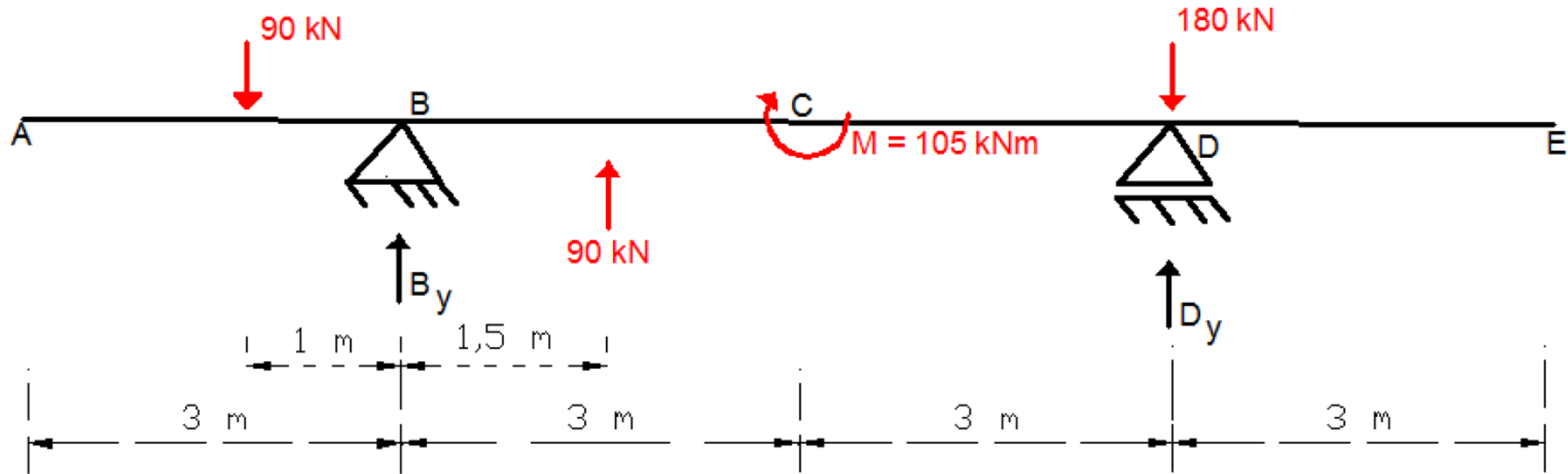


Exemplo 7*

R3) Determinar as reações da viga a seguir.



Exemplo 7 R3) Determinar as reações da viga a seguir.



$$\sum F_x = 0 \rightarrow B_x = 0$$

$$\sum F_y = 0 \rightarrow B_y + D_y = 180$$

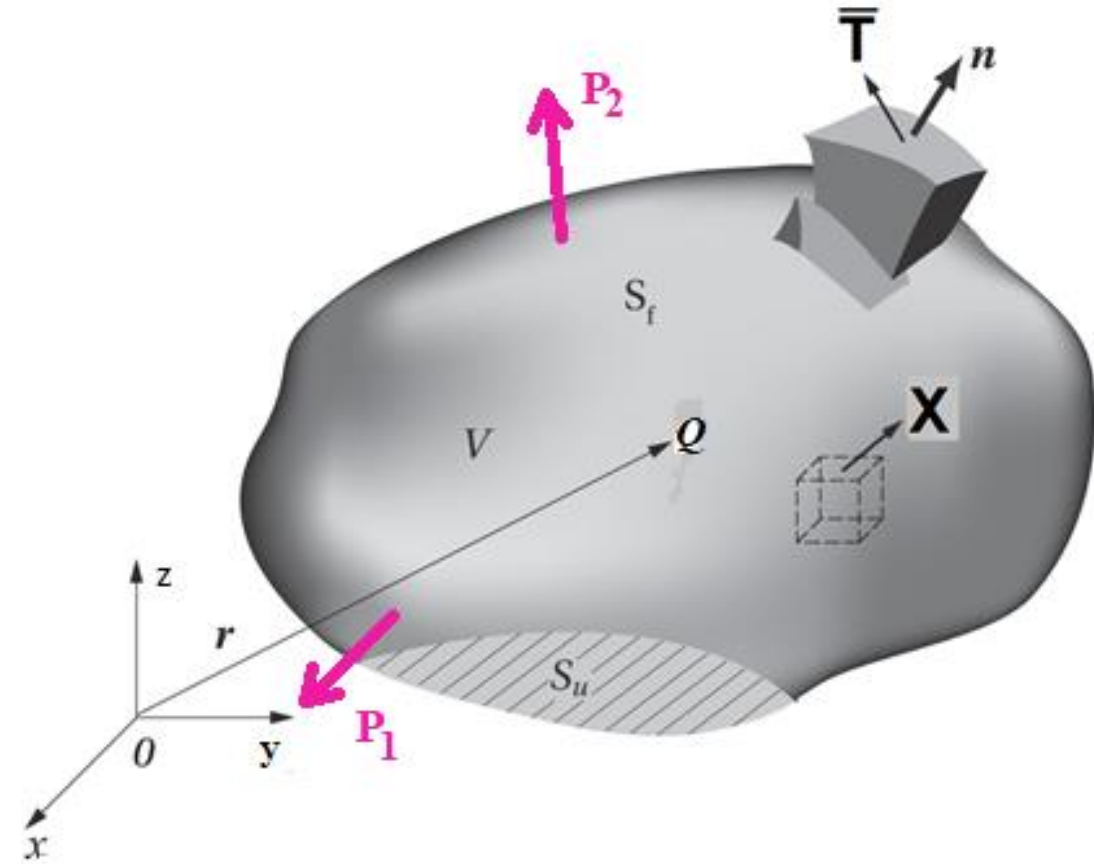
$$\sum M_B = 0 \rightarrow 6.D_y + 90.1 + 90.1,5 = 105 + 180.6 \rightarrow D_y = 160 \text{ kN}(\uparrow)$$

$$\therefore B_y = 20 \text{ kN}(\uparrow)$$

Tensão

Sólido deformável (V) em **equilíbrio estático**

Sujeito a forças de contato: P_1, P_2, \dots



Realize um corte imaginário que passe dentro do corpo

Tensão

Corte imaginário

Vetor tensão em Q no plano de normal n

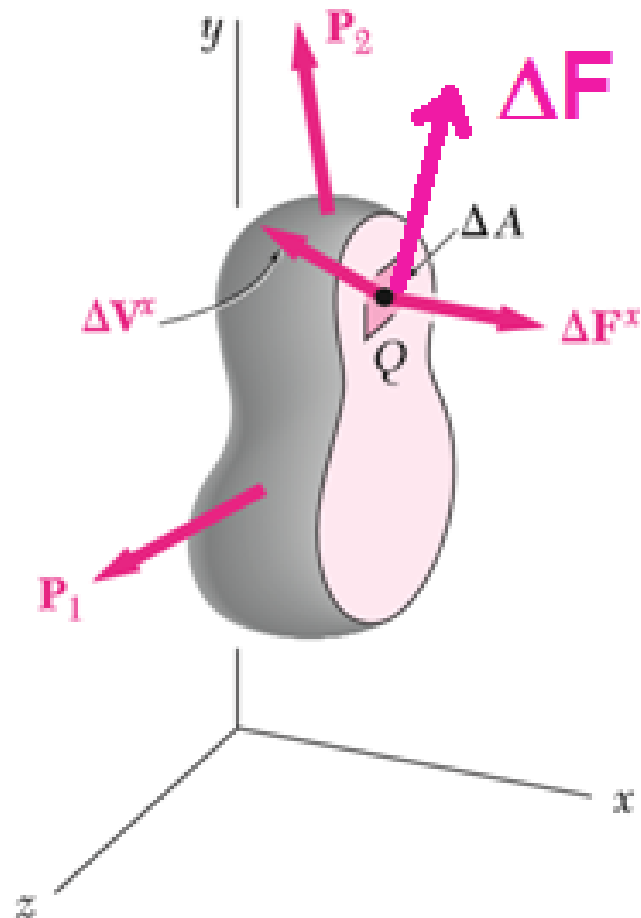
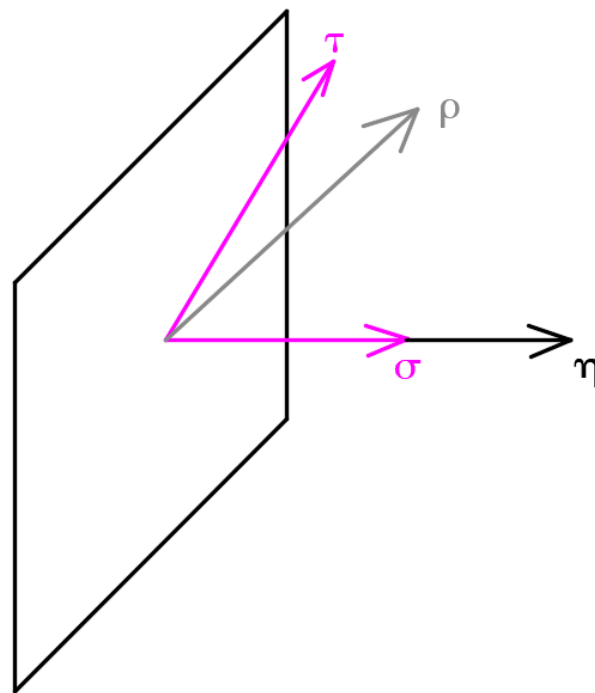
$$\rho_n = \lim_{\Delta A \rightarrow 0} \frac{\Delta F}{\Delta A}$$

$$\rho_n = \sigma + \tau$$

σ : tensão normal

τ : tensão cisalhante

ΔA : área



Conhecer 3 tensões em Q: estado de tensão completamente determinado

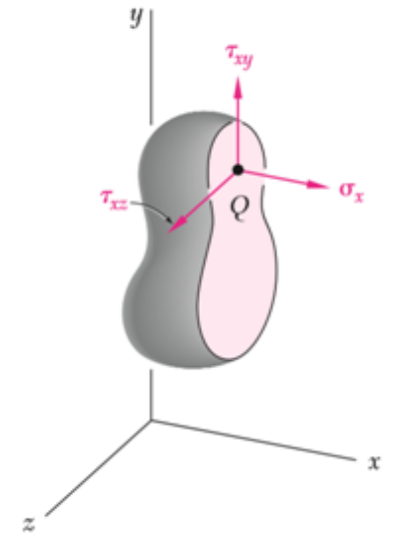
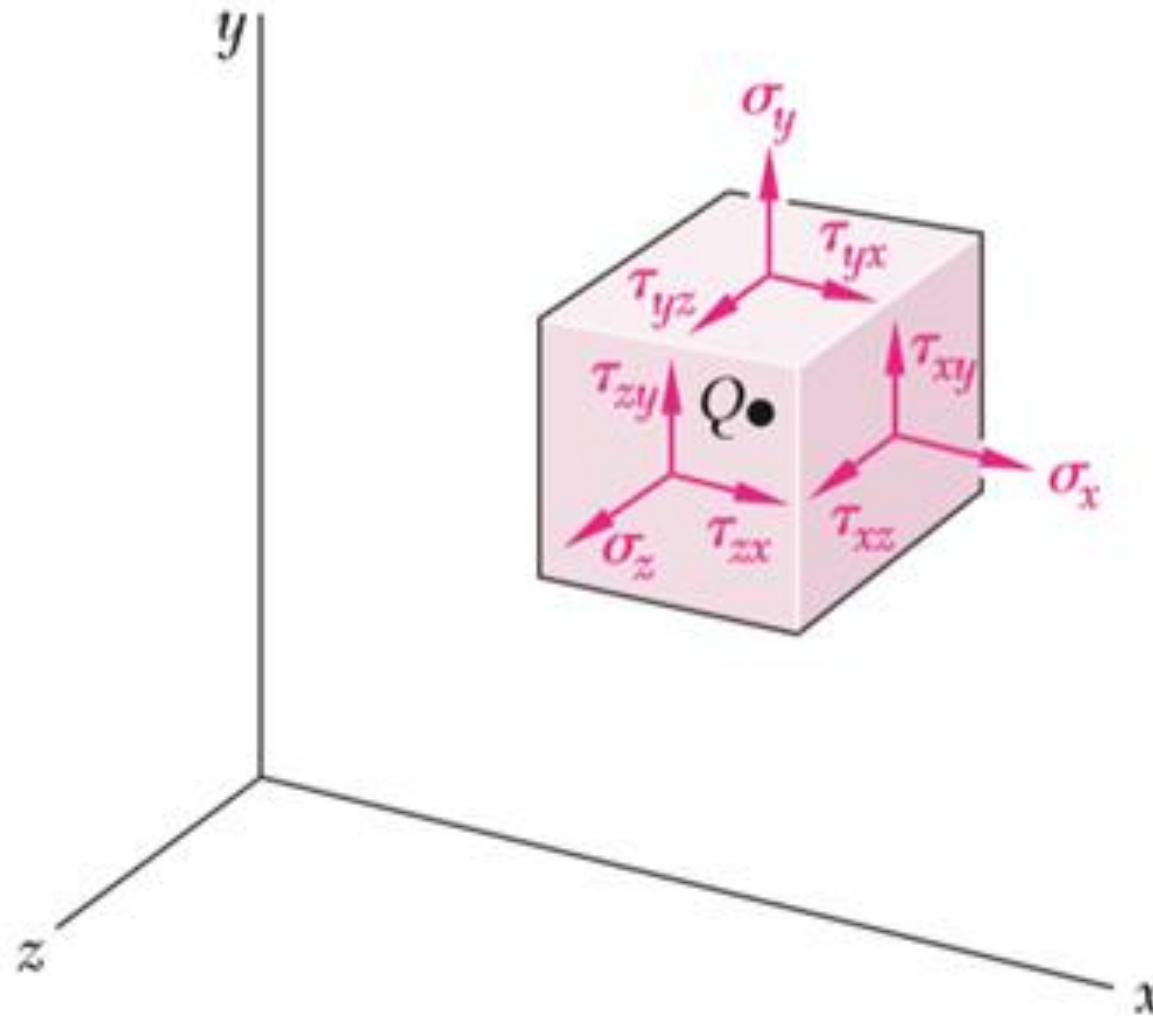
Tensão

Decomposição do vetor tensão

$$\sigma_x = \lim_{\Delta A \rightarrow 0} \frac{\Delta F^x}{\Delta A}$$

$$\tau_{xy} = \lim_{\Delta A \rightarrow 0} \frac{\Delta V_y^x}{\Delta A}$$

$$\tau_{xz} = \lim_{\Delta A \rightarrow 0} \frac{\Delta V_z^x}{\Delta A}$$



Estado tensional definidos nas **facetas paralelas** aos planos coordenados

Simetria de tensões

A combinação de forças geradas pela tensão devem satisfazer as condições para o equilíbrio:

$$\sum F_x = \sum F_y = \sum F_z = 0$$

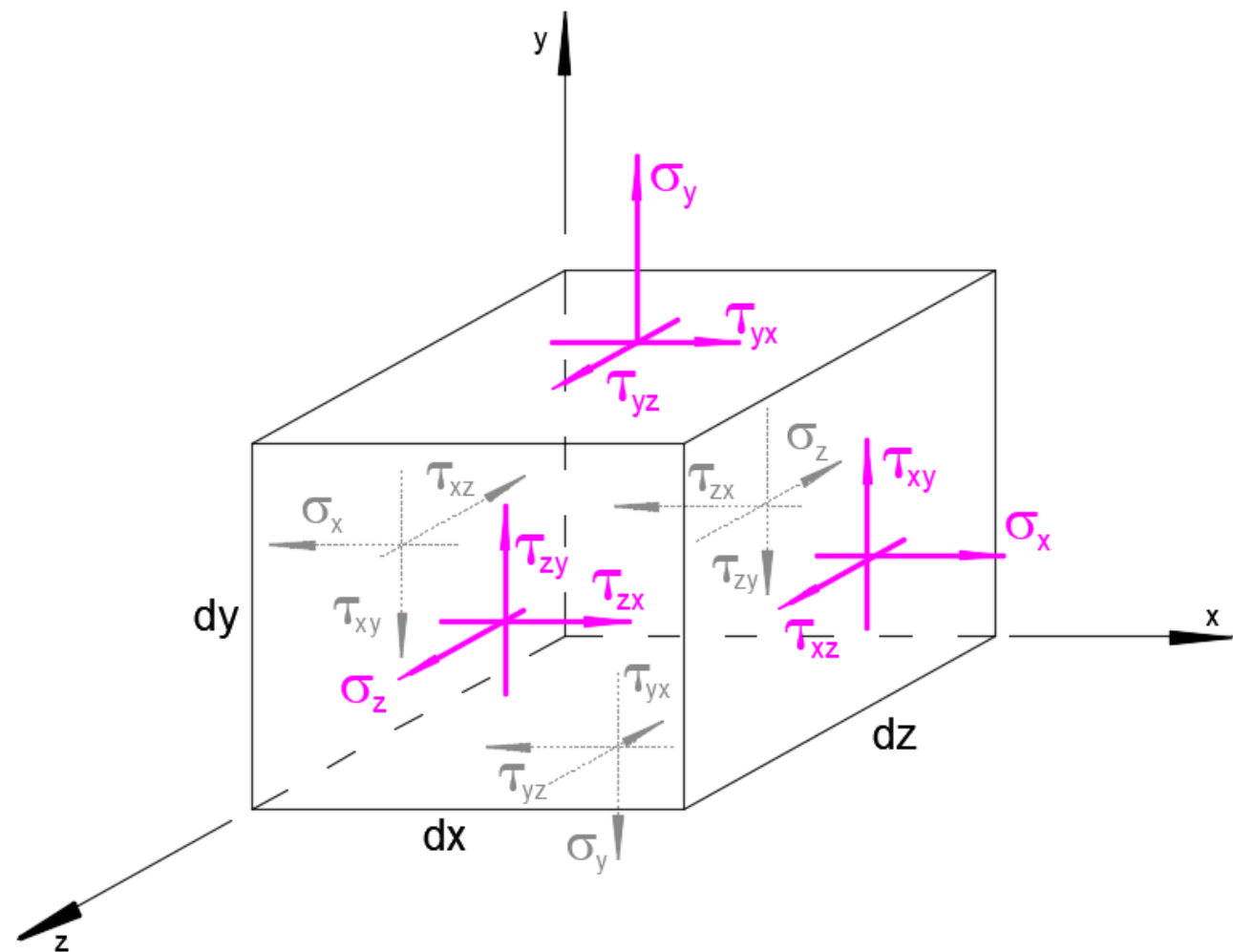
$$\sum M_x = \sum M_y = \sum M_z = 0$$

Considere os momentos em torno do eixo z, pólo no centro do volume:

$$\sum M_z = 0 = (\tau_{xy} dy dz) dx - (\tau_{yx} dx dz) dy$$

$$\tau_{xy} = \tau_{yx}$$

Similar, $\tau_{yz} = \tau_{zy}$ e $\tau_{zx} = \tau_{xz}$



$$\tau_{yz} = \tau_{zy}$$

$$\tau_{zx} = \tau_{xz}$$

Simetria de tensões
cisalhamento

Notação das 6 tensões

Notação:

$$\sigma = \begin{bmatrix} \sigma_x \\ \sigma_y \\ \sigma_z \\ \tau_{xy} \\ \tau_{xz} \\ \tau_{yz} \end{bmatrix} = [\sigma_x \quad \sigma_y \quad \sigma_z \quad \tau_{xy} \quad \tau_{xz} \quad \tau_{yz}]^T$$

**Tensor das tensões de Cauchy
(simétrico)**

Às vezes é conveniente escrever na forma:

$$\sigma = [\sigma_{xx} \quad \sigma_{yy} \quad \sigma_{zz} \quad \sigma_{xy} \quad \sigma_{xz} \quad \sigma_{yz}]^T$$

$$\mathbf{T} = \begin{bmatrix} \sigma_x & \tau_{xy} & \tau_{xz} \\ \tau_{xy} & \sigma_y & \tau_{yz} \\ \tau_{xz} & \tau_{yz} & \sigma_z \end{bmatrix}$$

Ou

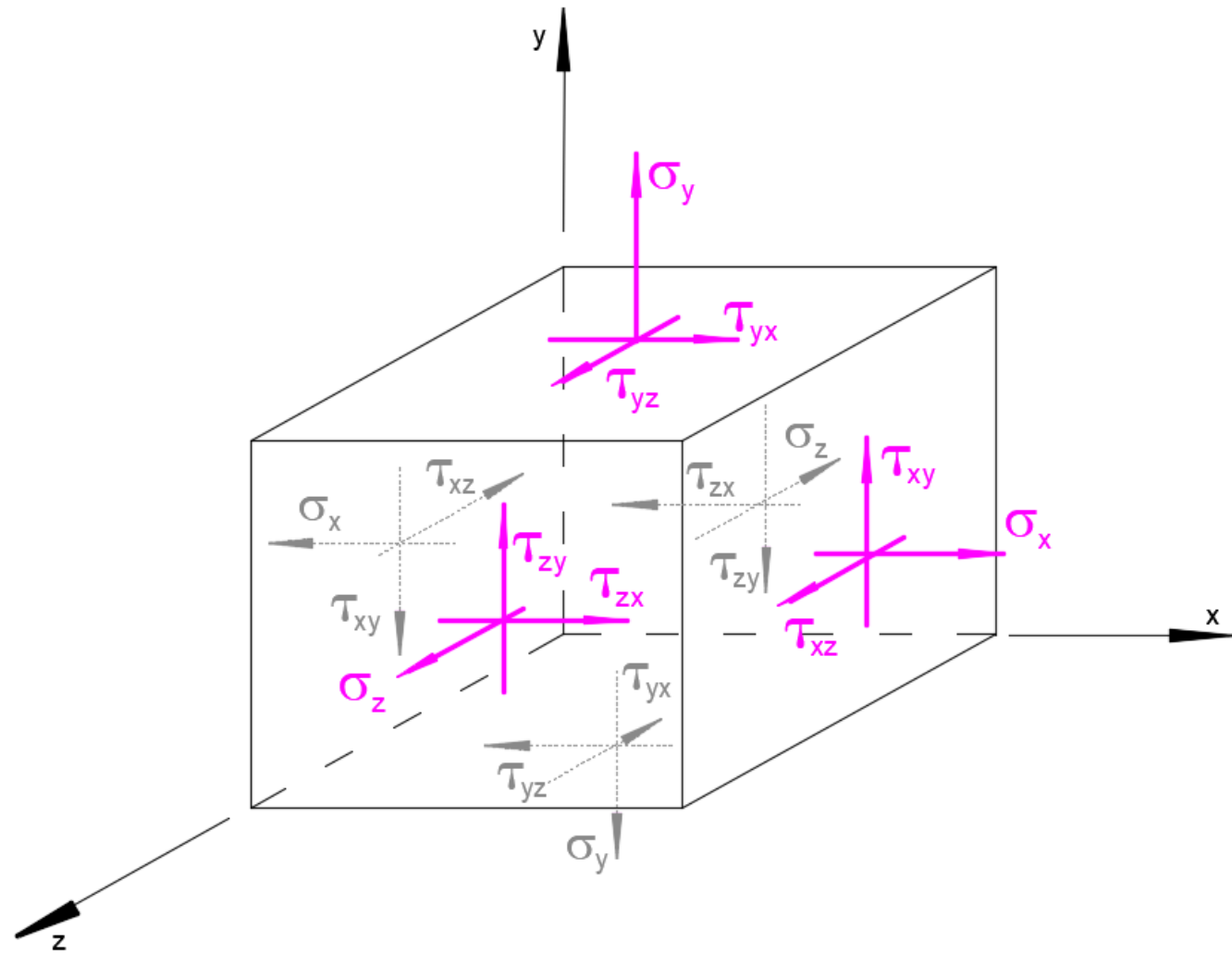
$$\sigma = [\sigma_{11} \quad \sigma_{22} \quad \sigma_{33} \quad \sigma_{12} \quad \sigma_{13} \quad \sigma_{23}]^T$$

com $x = 1$, $y = 2$ e $z = 3$

Sinal das componentes de tensão

A σ é positiva no sentido da normal à faceta

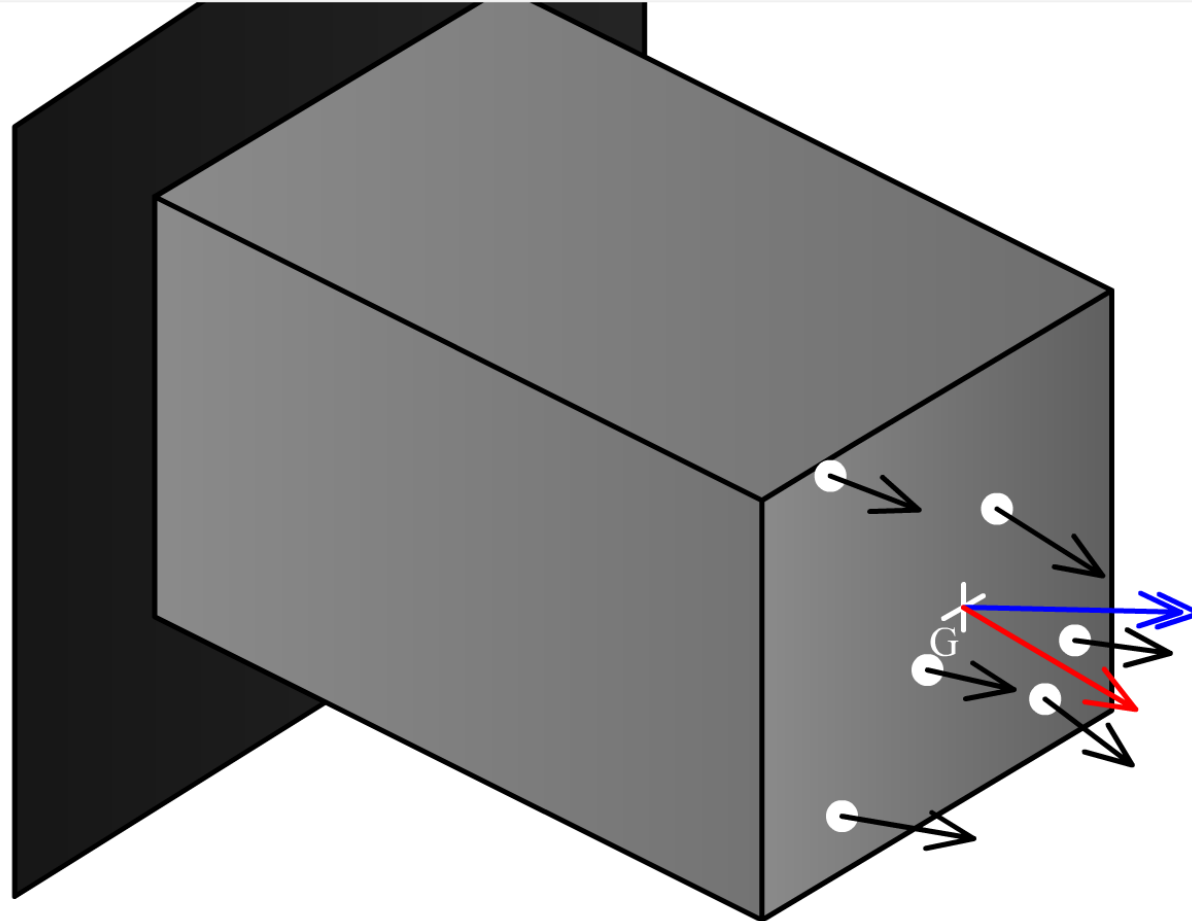
Se normal à faceta está no sentido do eixo, τ acompanha o seu sentido, caso contrário, sentido oposto.



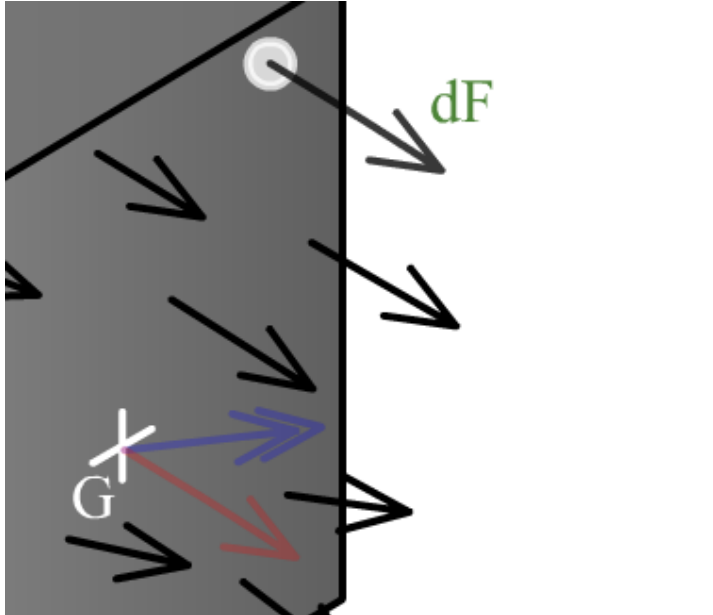
TENSÕES E ESFORÇOS SOLICITANTES: ELEMENTOS LINEARES

Flash
File View Control Help

- □ ×



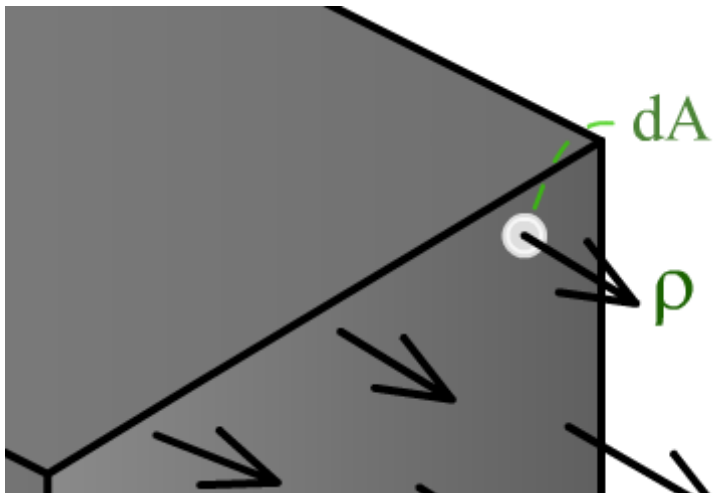
Tensões no plano



Tensão: $\vec{\rho} = \vec{\sigma} + \vec{\tau}$

Tensão normal a seção: $\vec{\sigma}$

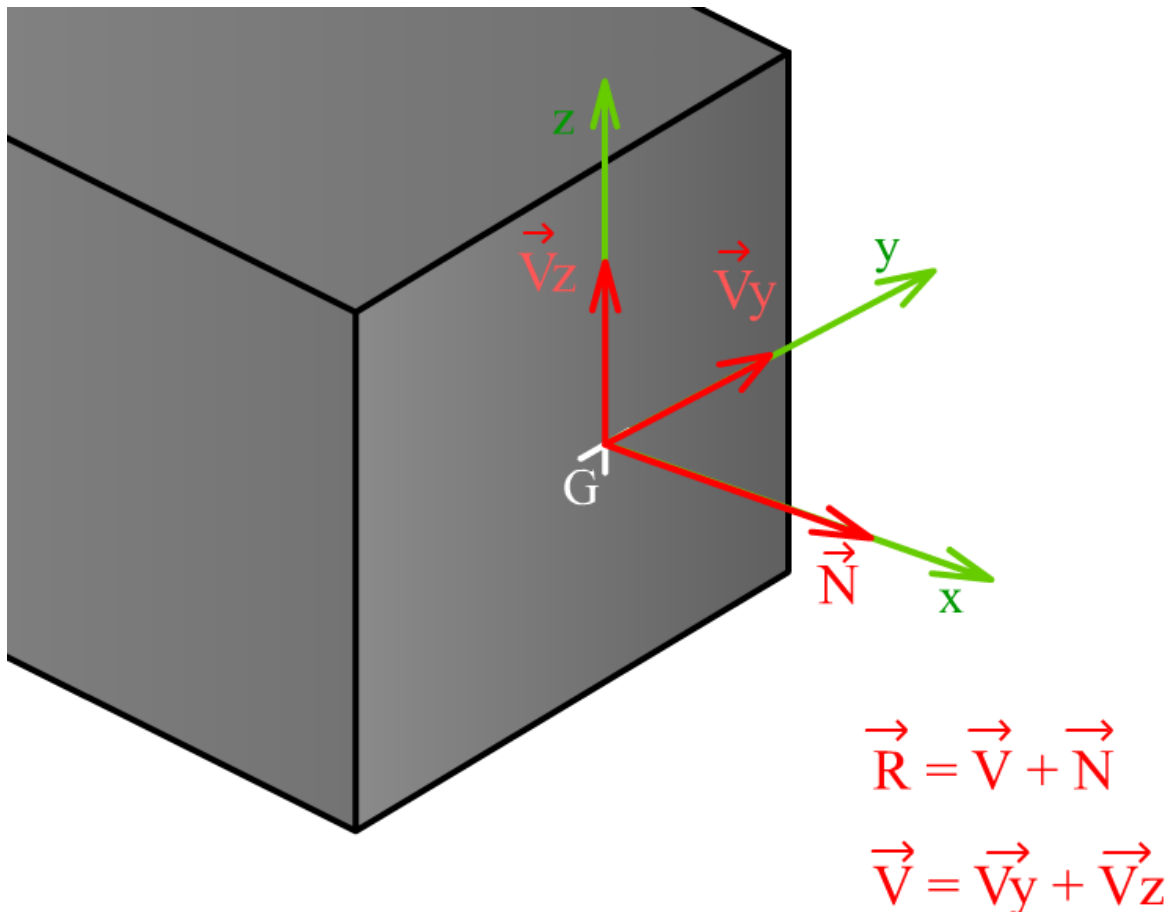
Tensão paralela a seção: $\vec{\tau}$



$$\vec{\rho}_{m\acute{e}dia} = \lim_{\Delta A \rightarrow 0} \frac{\vec{\Delta F}}{\Delta A}$$

ESFORÇOS SOLICITANTES

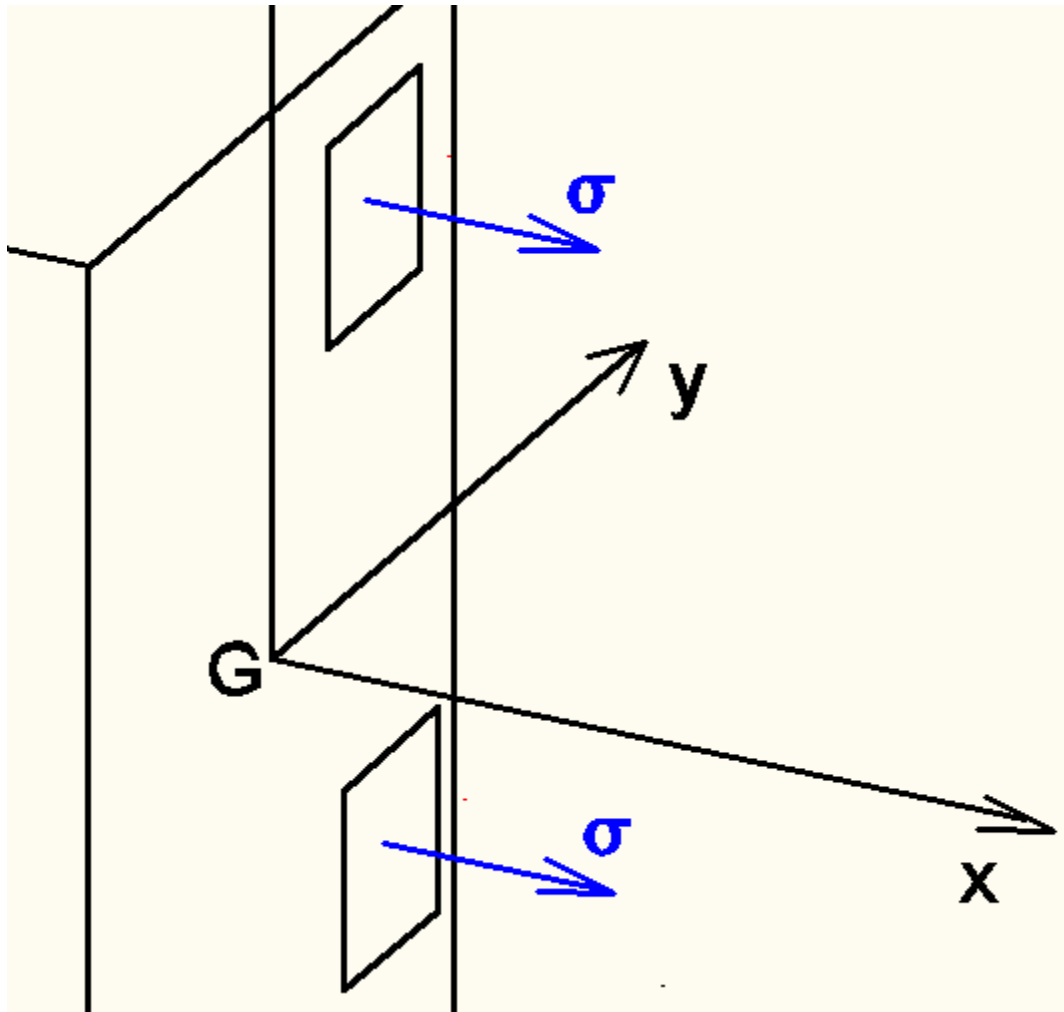
Esforços solicitantes: força/momento resultante das tensões transferidos para o centroide de cada seção transversal



N: Esforço Normal

**V: Esforço Cisalhante
ou Cortante**

ESFORÇO NORMAL

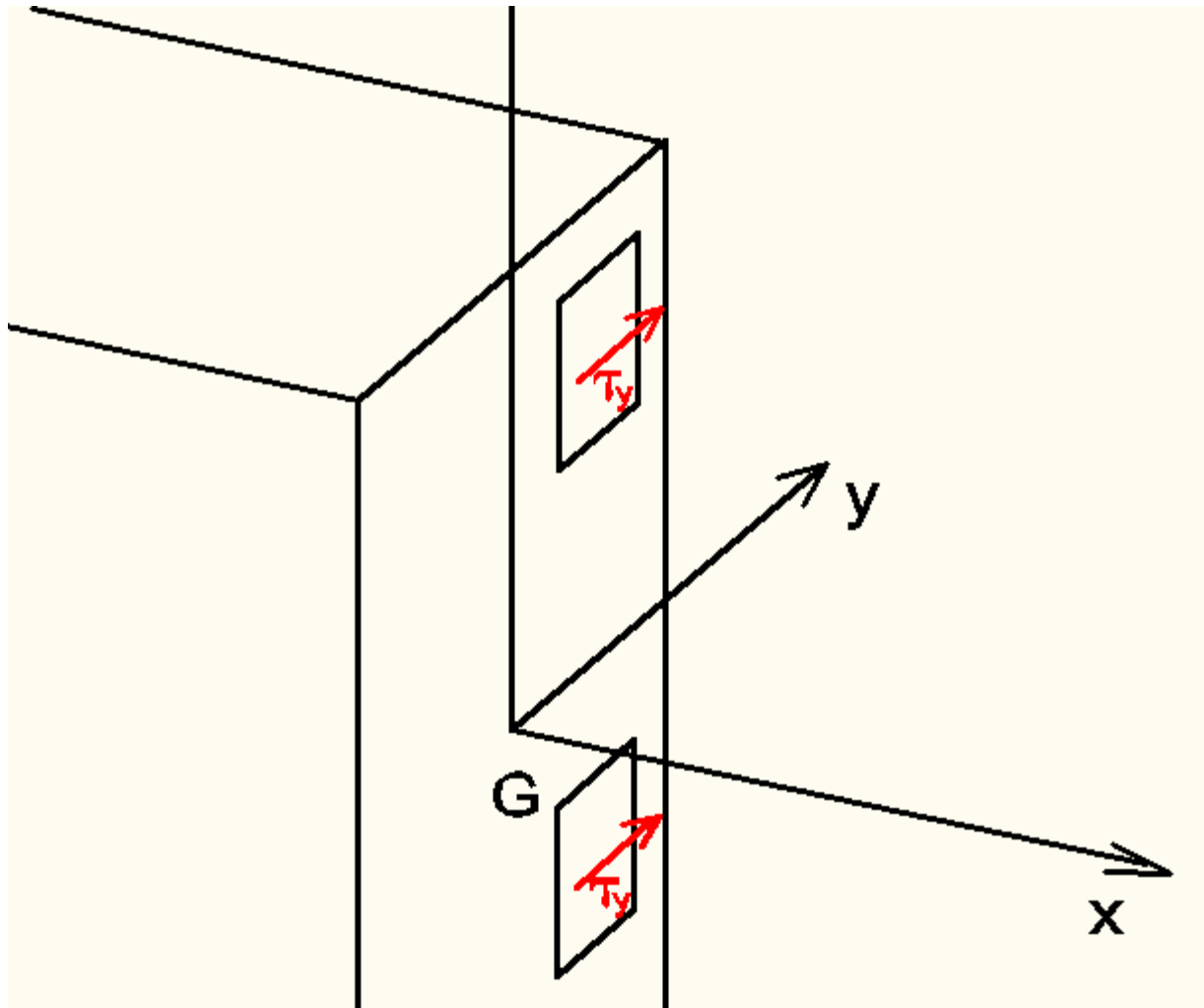


$$N = \int_A \sigma dA$$

N: ESFORÇO NORMAL

σ : TENSÃO NORMAL

ESFORÇO CISALHANTE (Cortante)

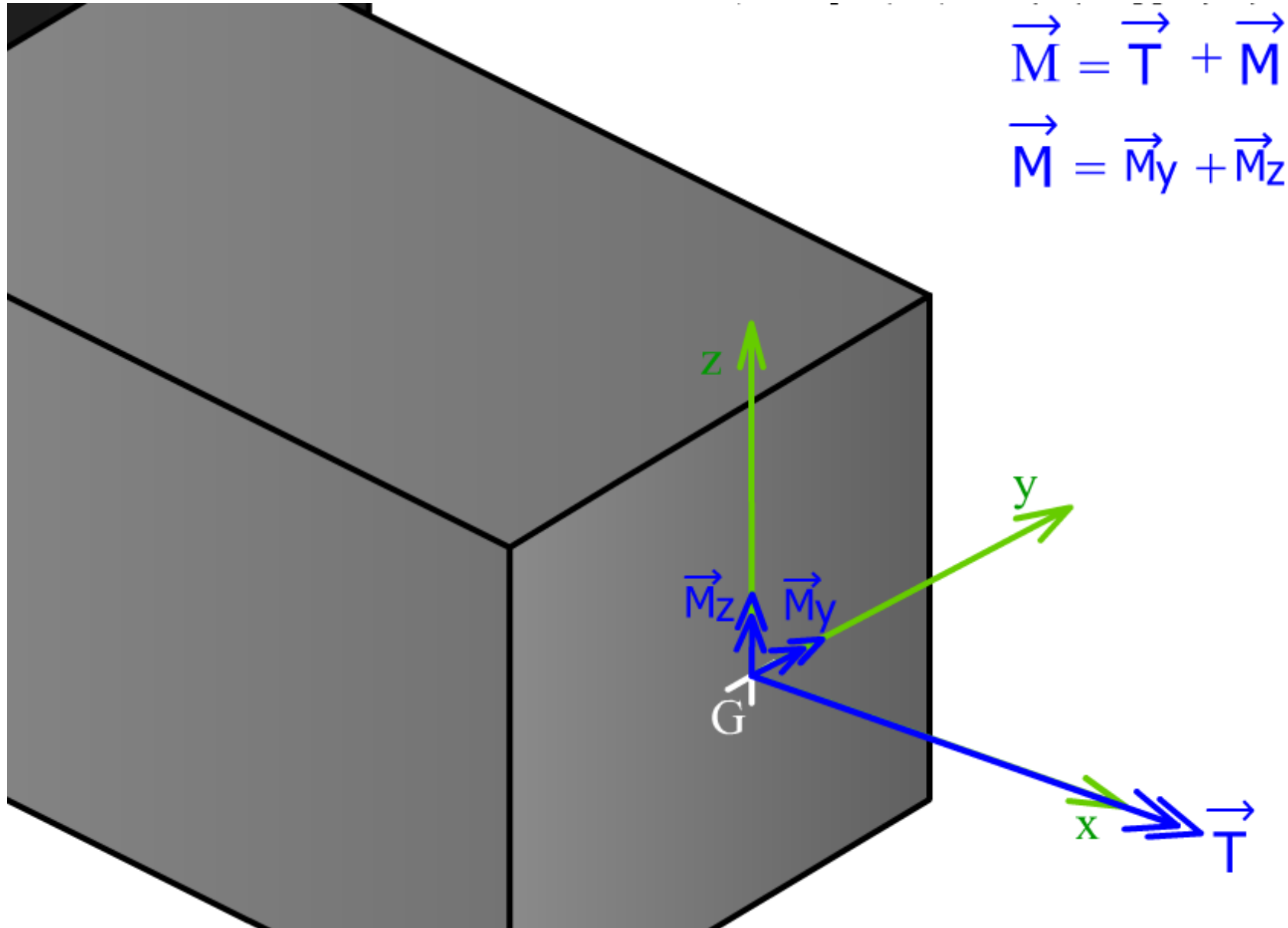


$$V_y = \int_A \tau_y dA$$

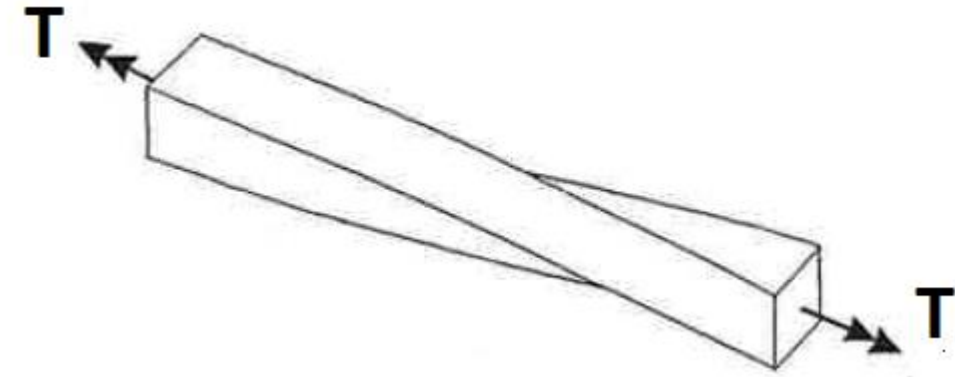
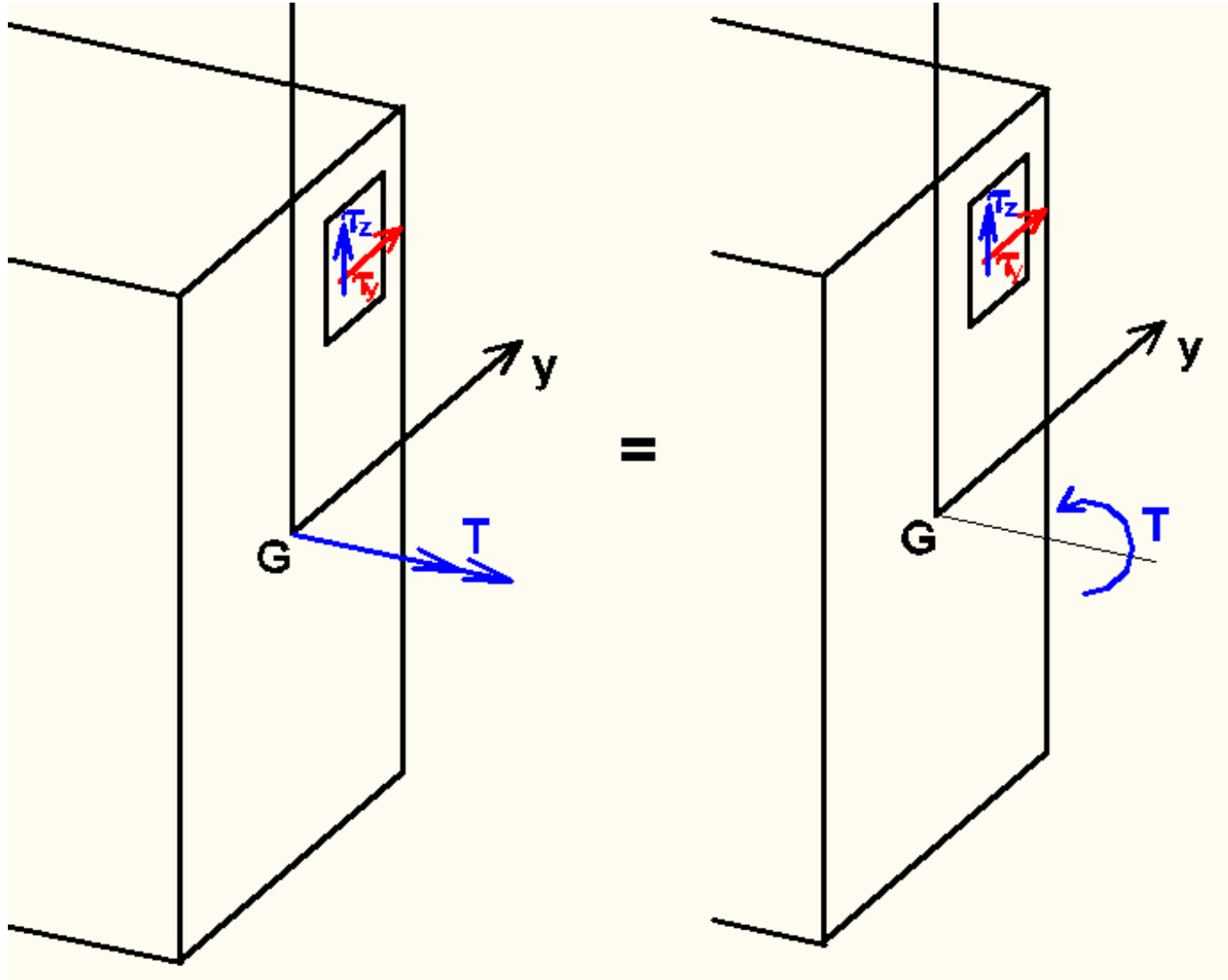
$$V_z = \int_A \tau_z dA$$

Tensão Cisalhante: τ

ESFORÇOS DE MOMENTO

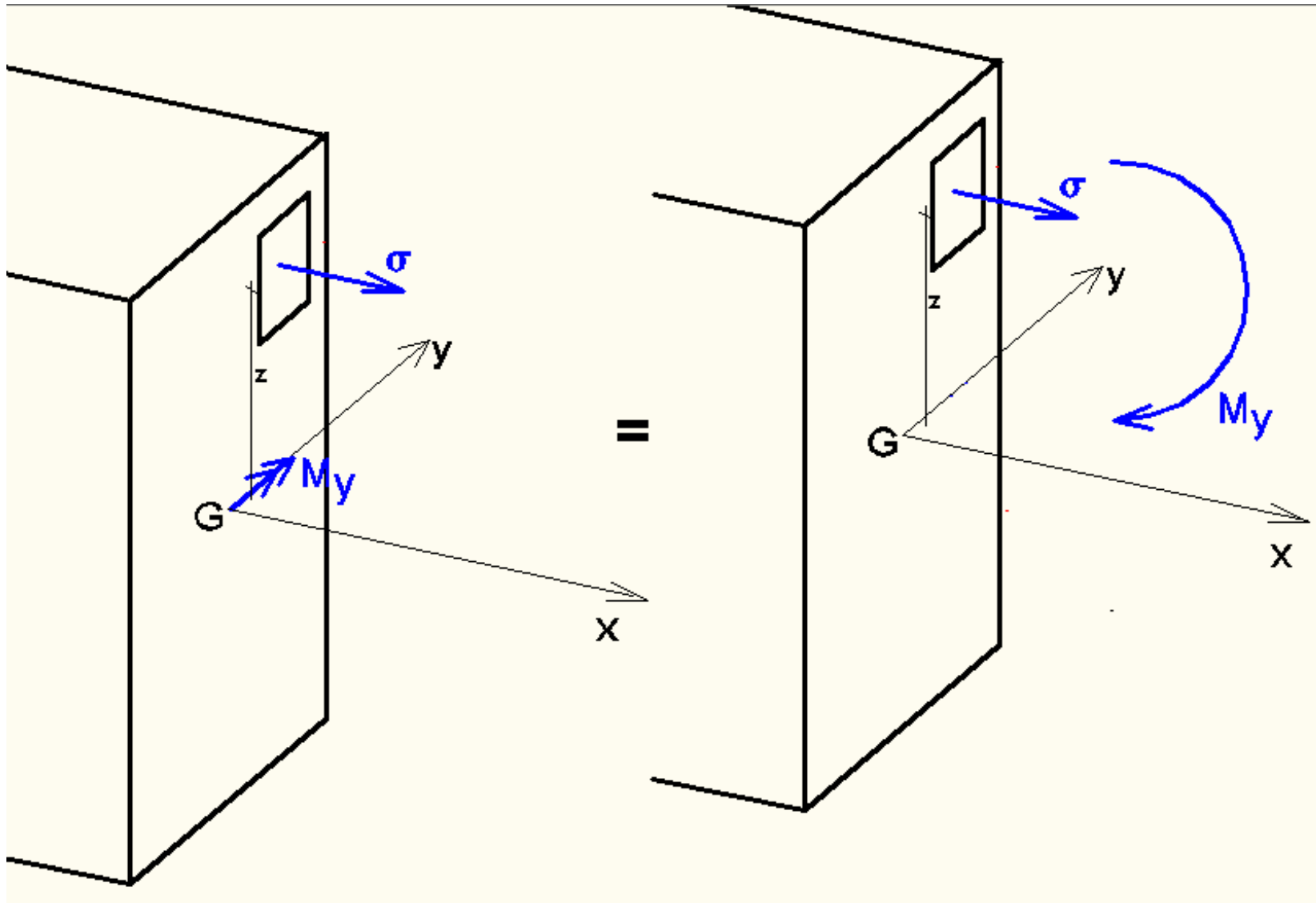


MOMENTO TORÇOR (T)



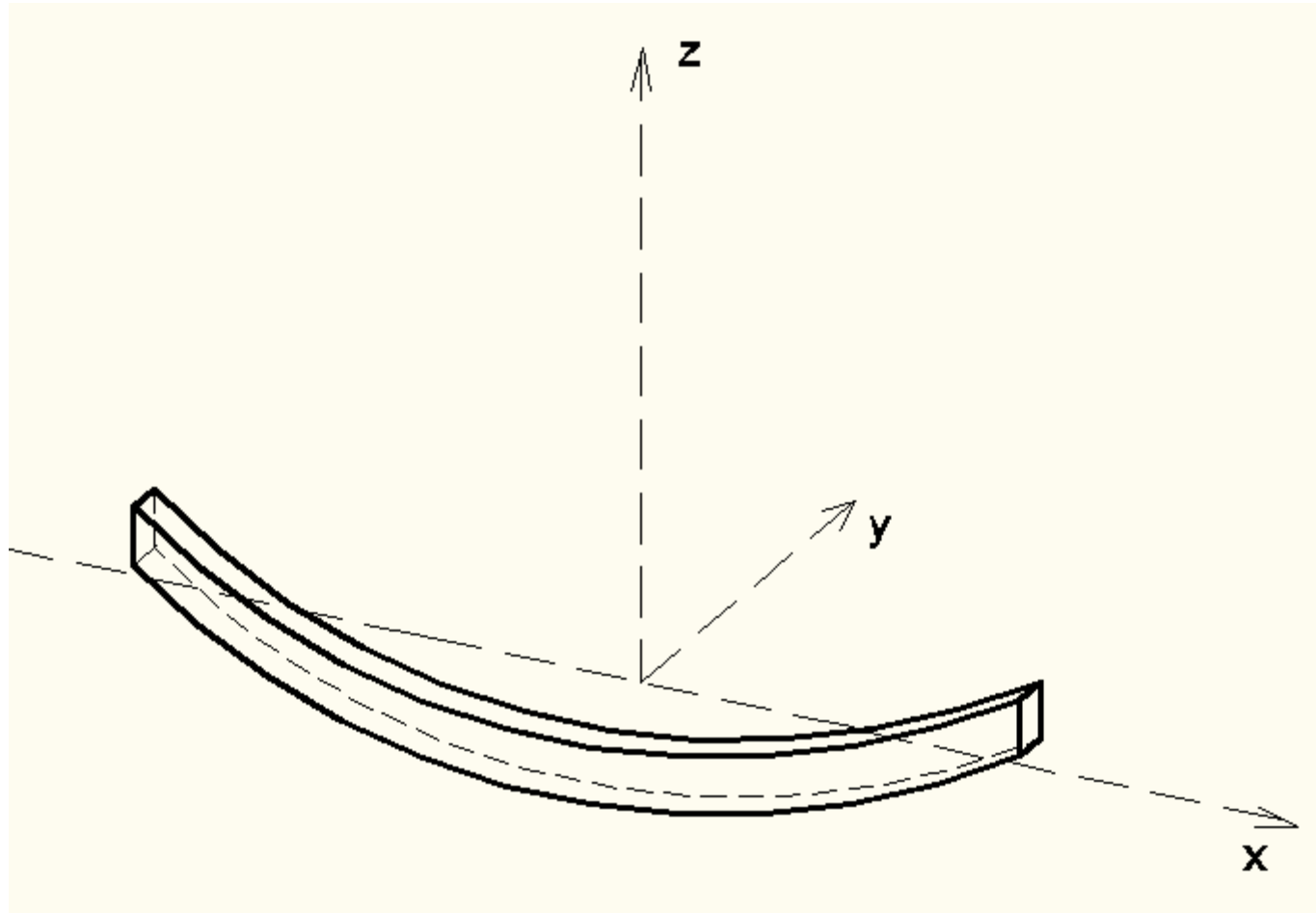
$$T = \int_A (\tau_z y - \tau_y z) dA$$

MOMENTO FLETOR (M_y)

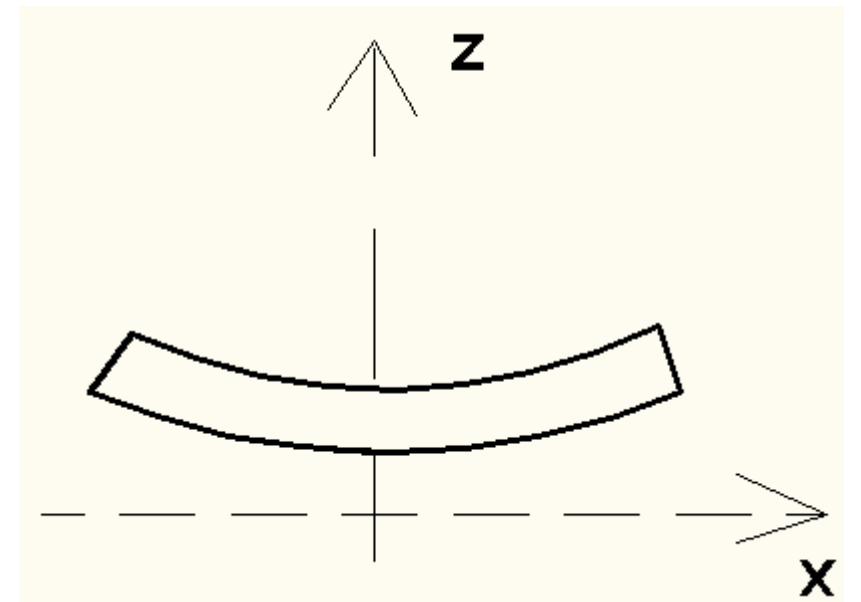


$$M_y = \int_A \sigma \cdot z \, dA$$

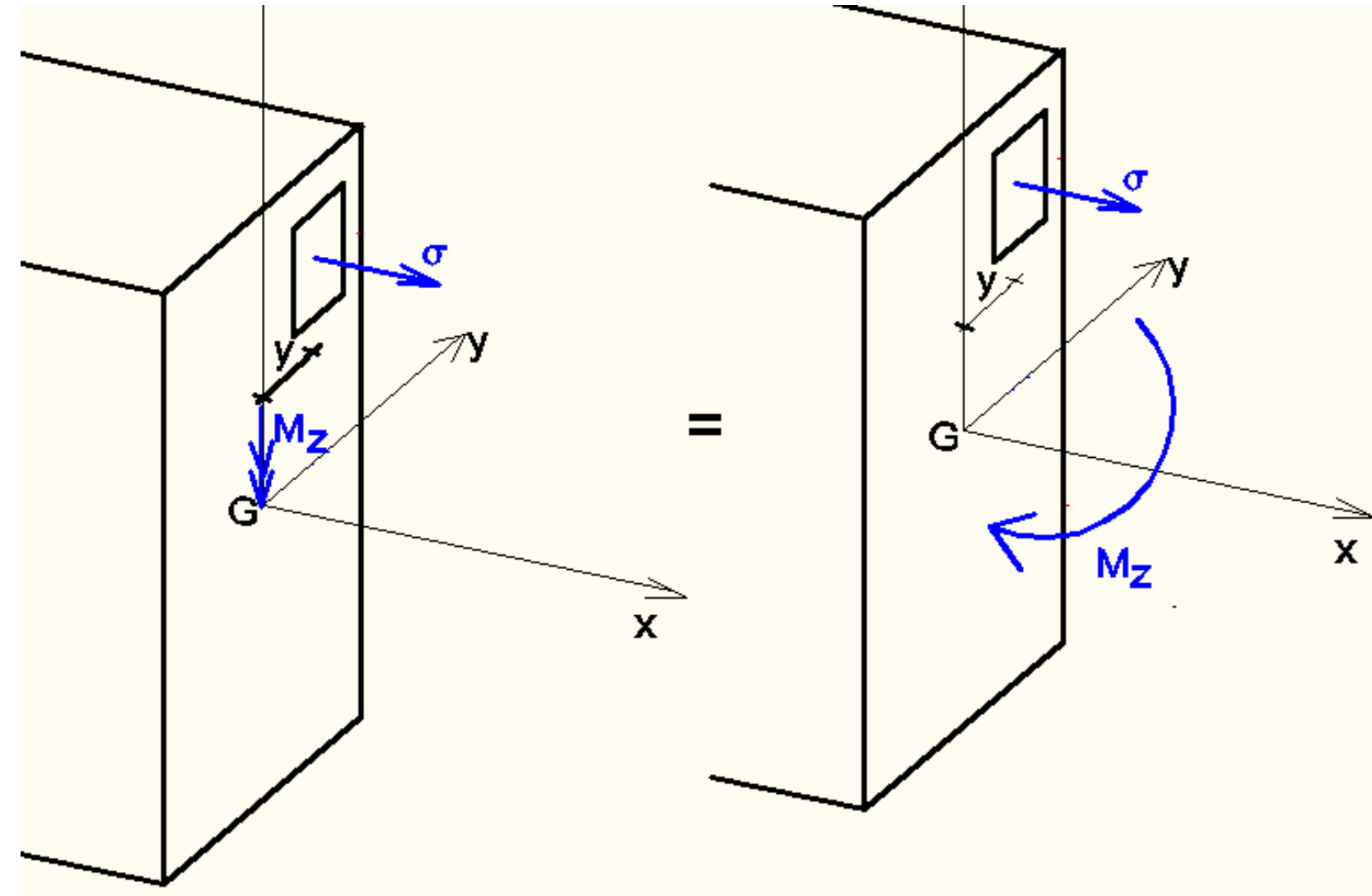
MOMENTO FLETOR (M_y)



Curvatura em torno de y

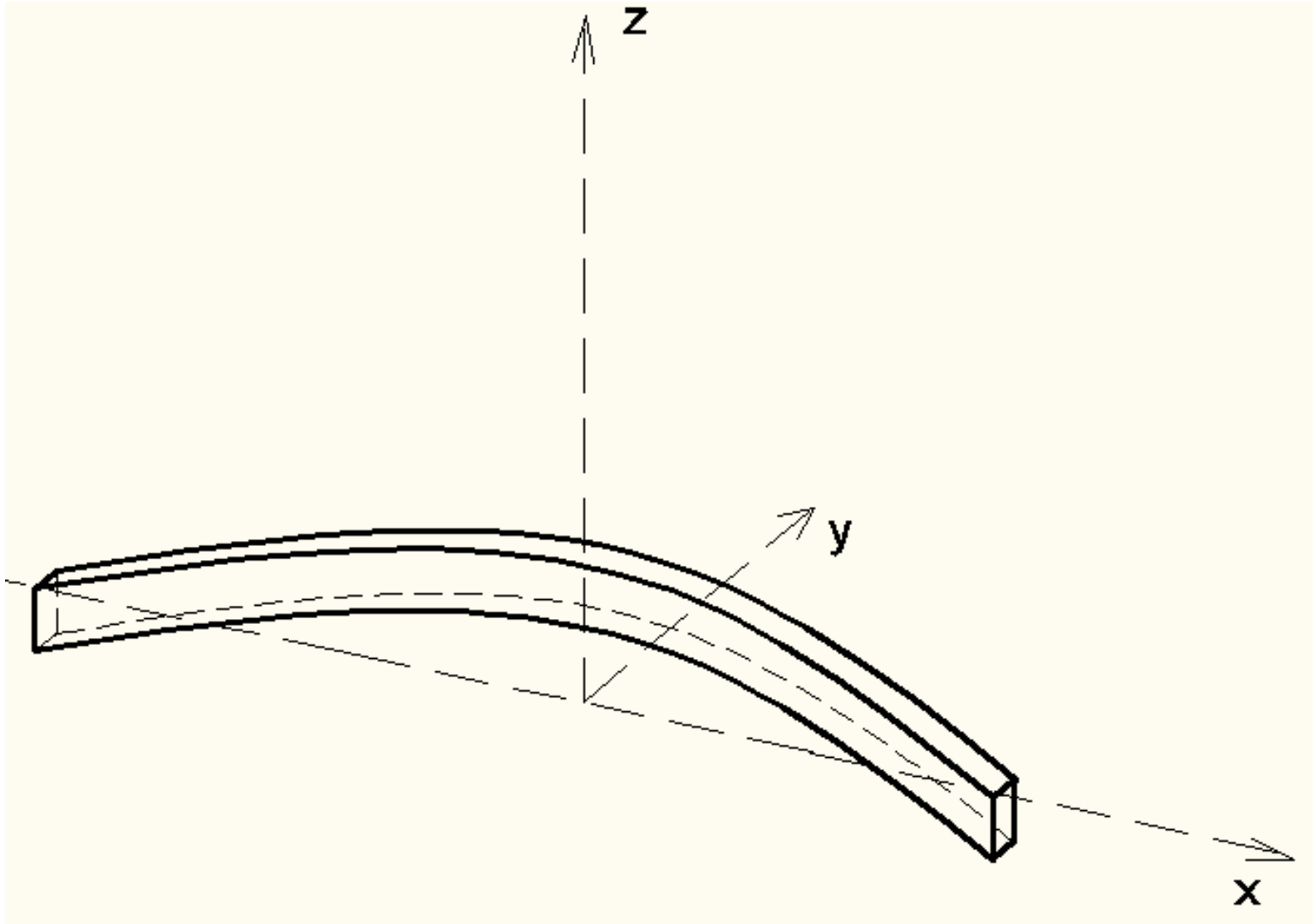


MOMENTO FLETOR (M_z)

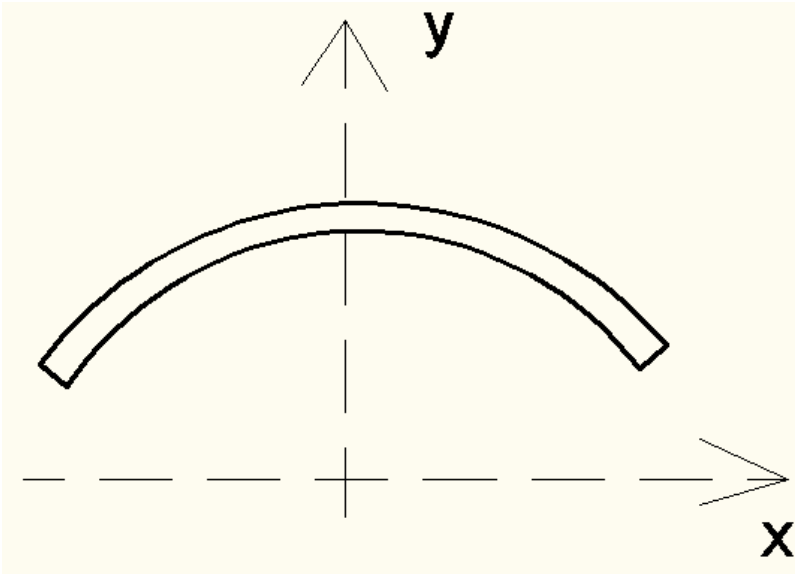


$$M_z = \int_A \sigma \cdot y \, dA$$

MOMENTO FLETOR (M_z)



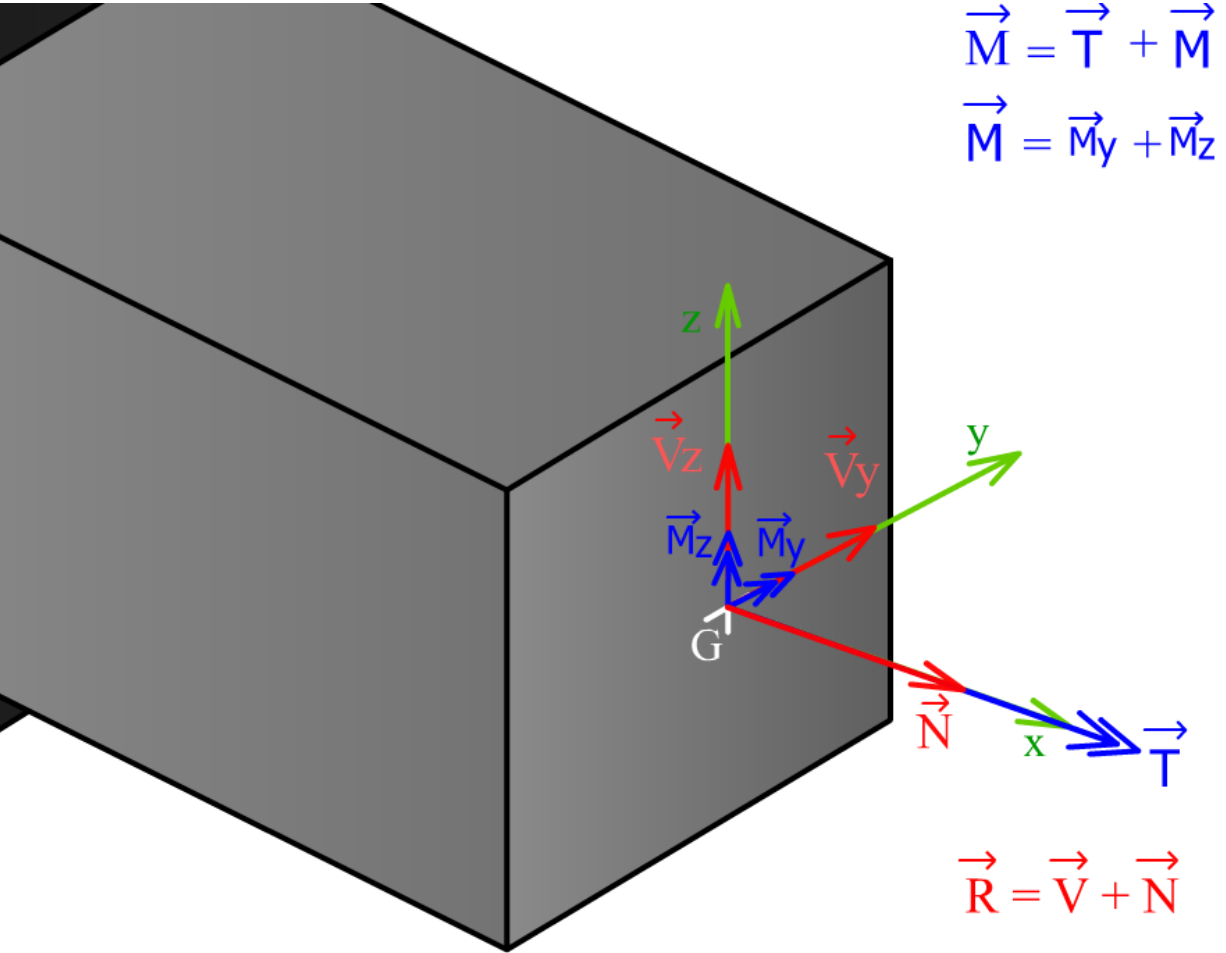
Curvatura em torno de z



TOTAL DE ESFORÇOS (6)

$$\vec{M} = \vec{T} + \vec{M}$$

$$\vec{M} = \vec{M}_y + \vec{M}_z$$



$$\vec{R} = \vec{V} + \vec{N}$$

$$\vec{V} = \vec{V}_y + \vec{V}_z$$

$$N = \int_A \sigma dA$$

$$V_y = \int_A \tau_y dA$$

$$V_z = \int_A \tau_z dA$$

$$M_z = \int_A \sigma \cdot y dA$$

$$M_y = \int_A \sigma \cdot z dA$$

$$T = \int_A (\tau_z y - \tau_y z) dA$$